



Budapesti Műszaki és Gazdaságtudományi Egyetem
Villamosmérnöki és Informatikai Kar
Szélessávú Hírközlés és Villamosságtan Tanszék



Műholdfedélzeti QPSK adó tervezése és megvalósítása

Szakdolgozat

Miklós Barnabás

2020

HALLGATÓI NYILATKOZAT

Alulírott Miklós Barnabás, szigorló hallgató kijelentem, hogy ezt a szakdolgozatot meg nem engedett segítség nélkül, saját magam készítettem, csak a megadott forrásokat (szakirodalom, eszközök stb.) használtam fel. Minden olyan részt, melyet szó szerint, vagy azonos értelemben, de átfogalmazva más forrásból átvettem, egyértelműen, a forrás megadásával megjelöltem.

Hozzájárulok, hogy a jelen munkám alapadatait (szerző(k), cím, angol és magyar nyelvű tartalmi kivonat, készítés éve, konzulens(ek) neve) a BME VIK nyilvánosan hozzáférhető elektronikus formában, a munka teljes szövegét pedig az egyetem belső hálózatán keresztül (vagy autentikált felhasználók számára) közzétegye. Kijelentem, hogy a benyújtott munka és annak elektronikus verziója megegyezik. Dékáni engedéllyel titkosított diplomatervek esetén a dolgozat szövege csak 3 év eltelte után válik hozzáférhetővé.

Budapest, 2020. december 10.

Miklós Barnabás

Szakdolgozat készítés

feladat

Miklós Barnabás

szigorló villamosmérnök jelölt részére, melynek címe

Műholdfedélzeti QPSK adó tervezése és megvalósítása

- Ismerje meg a Mikrohullámú Távérzékelés Laboratóriumban fejlesztett 1 PocketCube (5x5x5cm) osztályú SMOG műholdak és 2 PQ méretű ATL-1 műhold felépítését és működését.
- Tervezzen a PQ műholdakhoz illeszkedő nagy sebességű digitális adatkapcsolati rádió adót a következő paraméterekkel (mérnöki példány):
 - Tápfeszültség: +5V
 - Működési frekvencia tartomány: 2200-2400 MHz
 - Adóteljesítmény: 26 dBm (400 mW)
 - Moduláció: QPSK
 - Adatsebesség: 10 kbit/s - 200 kbit/s (kódolatlan)
 - Digitális adatkapcsolat: UART RX-TX
- Tervezze meg az áramkör kapcsolási rajzát - KiCad.
- Tervezze meg az áramkörhöz tartozó nyomtatott áramkört - KiCad.
- Ültesse be, élessze fel, mérje be az áramkört.
- Laboratóriumi és terepi mérésekkel (mérési jegyzőkönyvek) igazolja az áramkörének működését (SDR vevő alkalmazásával).

Irodalom:

- Mikrohullámú szintézer: <https://www.analog.com/en/products/adrf6703.html>
- Végfok: <https://www.analog.com/en/products/adl5606.html>
- Mikrovezérlő: <https://www.microchip.com/wwwproducts/en/PIC32MM0064GPL036>

Nagyfrekvenciás rendszerek és alkalmazások ágazat - Szélessávú Hírközlés és Villamos-
ságtan Tanszék

Záróvizsga tárgyak:

Űrtechnológia (BMEVIHVBV06, dr. Csurgai-Horváth László)

A feladat benyújtásának határideje: 2020.12.11

Tanszéki konzulens: dr. Dudás Levente, dr. Gschwindt András, dr. Seller Rudolf

Ipari konzulens: -

A tervezés bírálója:

Budapest, 2020.09.01

dr. Nagy Lajos
egyetemi docens
tanszékvezető

Konzultációk:

Időpont			Észrevételek	Konzultációk
év	hó	nap		

Ipari konzulens véleménye:**Tanszéki konzulens véleménye:**

Bíráló véleménye:

Tartalomjegyzék

1. A projekt célja	9
1.1. Műholdas downlink kommunikáció	9
1.2. A QPSK moduláció	9
2. QPSK adatátviteli lánc szimulálása	10
2.1. QPSK moduláció elmélete	10
2.1.1. A QPSK jelek leírása	10
2.1.2. A QPSK jel spektruma	11
2.1.3. A QPSK jel demodulációja(Costas-hurok)	12
2.2. QPSK szimuláció a gyakorlatban	13
2.2.1. Ideális eset	13
2.2.2. A frekvencia- és fázishiba	14
2.2.3. A moduláció megvalósítása GNURadio szoftverrel	16
3. IQ adó tervezése	24
3.1. Az IQ szintézer	24
3.2. A végfok erősítő	28
3.3. A mikrovezérlő	28
4. IQ adó realizációja	32
4.1. A beültetés és tesztelés metodikája	33
4.2. Az adó jelének kimérése	34
4.2.1. Mérések 2.14 GHz adófrekvencián	35
4.2.2. Mérések 2.34 GHz adófrekvencián	40
4.2.3. Mérések 2.6 GHz adófrekvencián	44
4.3. Mérési eredmények kiértékelése	48
5. Összegzés	49

Kivonat

Jelen dokumentum egy szakdolgozat a Mikrohullámú Távérzékelés laboratóriumban végzett féléves munkámról. A hosszútávú célja a projektnek egy kis méretű és teljesítményű műholdas downlink kommunikáció megvalósítása QPSK moduláció segítségével. Ha a projekt terv szerint halad az adóáramkör a SMOG-2 nevű 3PQ méretű egyetemi műholdon fog üzemelni. A félév során dolgoztam az előző félévek során is fejlesztett QPSK adatátviteli lánc szimulációmon C, Python és Shell script nyelvet felhasználva Linux környezetben, majd egy teljes adatátvitelt szimuláltam szoftverrádióon GNURadio és két B200mini SDR használatával. Ezek után KiCad segítségével megterveztem majd össze-raktam és (MPLAB X fejlesztőkörnyezetet használva) beprogramoztam egy 2,1 GHz-től 2,6GHz ig tartó sávban működni képes, 10kbit/s-től 332kbit/s-ig terjedő kódolatan átviteli sebességgel rendelkező adóáramkör prototípust. Ezt követően megmértem az eszköz rádiós paramétereit. Ennek eredményeit és tapasztalatait írtam le a következő oldalakban.

Abstract

This document is my BSc thesis containing my work done in the Microwave Remote Sensing Laboratory in this semester. The project's long term goals are to design and test a small power and size satellite downlink communication using QPSK modulation. If the project goes as planned the transmitter will fly on the 3PQ sized SMOG-2 cube satellite. This semester I advanced on the development of a QPSK transmission simulation in Linux environment using C, Python and Shell script, after that I constructed a full data transmission simulation and tested it via software defined radio, with the help of GNURadio and two USRP B200mini type radios. Thereafter, using KiCad, I designed and then built and (using the MPLAB X programming environment for PIC microcontrollers) programmed a transmitter prototype circuit working in the 2.1 GHz - 2.6 GHz band, capable of transmitting data with the speed of 10kbit/s to 332 kbit/s and measured its parameters. The experiences of this work are written on the following pages.

1. fejezet

A projekt célja

1.1. Műholdas downlink kommunikáció

A jövőben az egyetem egy 3PQ(PQ=PocketQube) méretű műholdat, a SMOG-2-t, tervez felküldeni a világűrbe. A hosszú távú célja a projektnek ehhez a műholdhoz egy hatékony rádióhullámú adó(és majd később vevő) kifejlesztés és tesztelése.

1.2. A QPSK moduláció

A QPSK moduláció fázismoduláció tehát nem amplitúdó függő(a frekvencia és fázis hibát a vevőállomás tudja kompenzálni, és jobb a csatornakihasználása mint a BPSK-nak mivel egy szimbólum 2 bitet tartalmaz 1 helyett. Egy ilyen típusú adót nagyon kis méretben meg lehet valósítani mivel az IQ modulátor és mikrohullámú szintézer egy IC-n elérhető. A cél egy olyan hatékony adó és vevő építése amely jó hibaaránnyal tud kommunikálni a földi vevőállomásokkal mely előrelépés lenne a műholdakon gyakran használt BPSK-hoz képest. Ezt egy speciális hibajavító kódolással, optimálisan megtervezett adó áramkörrel és robusztus vevőállomással tervezzük elérni.

2. fejezet

QPSK adatátviteli lánc szimulálása

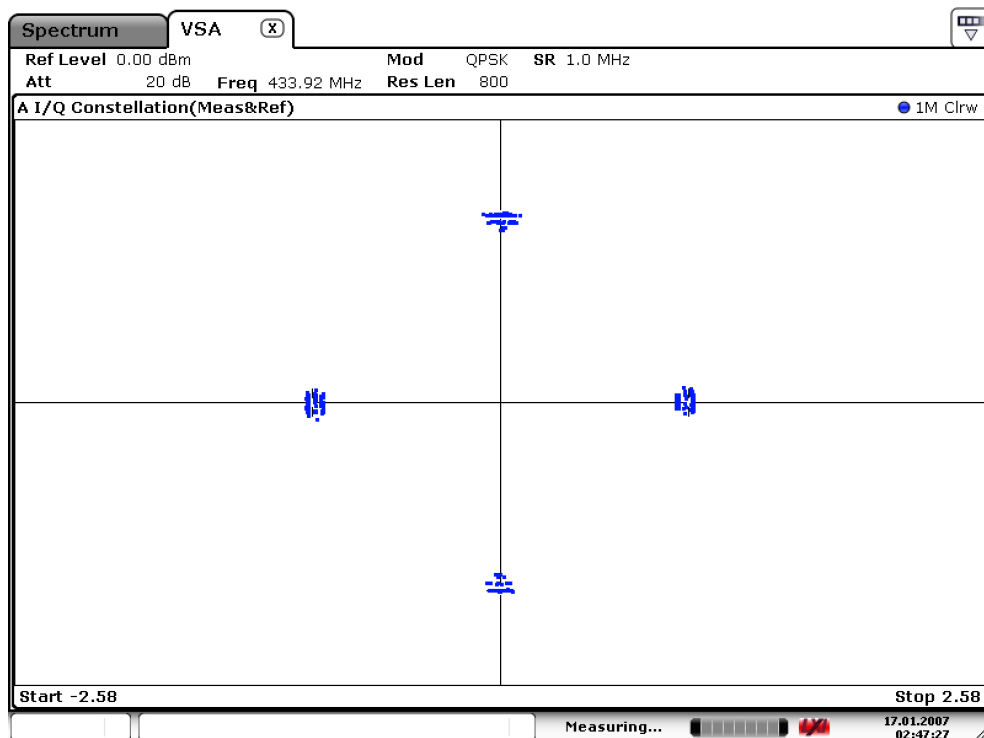
2.1. QPSK moduláció elmélete

2.1.1. A QPSK jelek leírása

Egy QPSK jel leírható:

$$s_n = \sqrt{2E_b/T_s} e^{j2\pi f_m t + \theta_n}$$

komplex körforgó vektorként Euler-formulával, f_m moduláló frekvenciával ahol a fázis θ_n felvehet $m\pi/2 + \pi/4$; $m = 0, 1, 2, 3$ értékeket, T_s szimbólumidő intervallumokban E_b bitre leosztott energiával, ezek kimérve egy spektrum analízátoron (elforgatott verzió $-\pi/4$ -el) a 2.1 ábrán látható



2.1. ábra. QPSK konstelláció(elforgatott verzió $\pi/4$ -el)

Ez koszinuszos formában ennek felel meg:

$$s_n(t) = \sqrt{2E_b/T_s} \cos(2\pi f_m t + \theta_n)$$

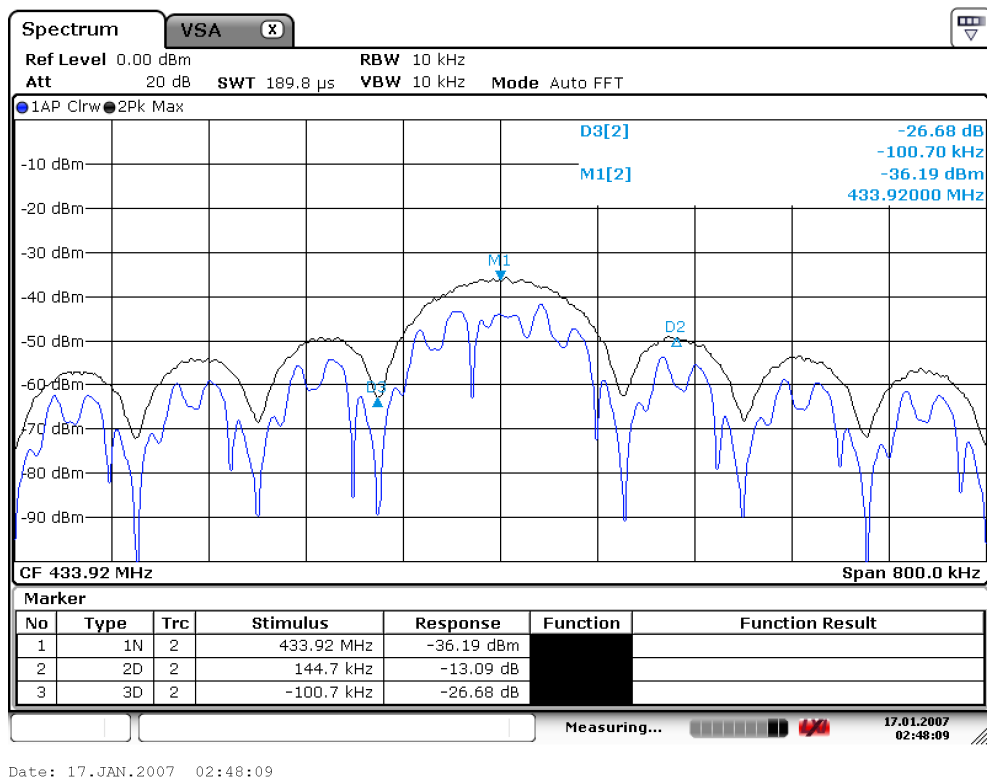
Additív Gaussi csatornában ehhez a jelhez hozzáadódik egy ω_n valószínűségi változó 0 várhatóértékkel és $\sigma = 10^{-SNR/20}$ szórással, ahol SNR a jel-zaj viszony (Szimulált a zajos jel a 2.3 ábrán látható).

2.1.2. A QPSK jel spektruma

Mivel egy konkrét f_m frekvenciára felkevert négyszögjelről van szó ezért a spektrum ezekből adódik össze:

$$X(\omega) = AT_s \text{sinc}(\omega T_s) + 2\pi f_m$$

Ennek egy részlete spektrum analízátoron kimérve a 2.2 látható



2.2. ábra. QPSK spektrum $f_m = 433.9 \text{ MHz}$ és $T_s = 5 \mu\text{s}$ (Center=433.9 MHz, Span=800kHz)

2.1.3. A QPSK jel demodulációja(Costas-hurok)

Fázis és frekvenciahiba nélkül a demoduláció a moduláló vektor forgásirányával ellentétes irányú körforgóvektorral való visszaszorzásból áll.

$$\sqrt{2E_b/T_s}e^{j2\pi f_m t + \theta_n} \cdot e^{-j2\pi f_m t} = \sqrt{2E_b/T_s}e^{\theta_n}$$

Ha a két vektor fázisa közt különbség van akkor ez megjelenik a demodulált adatban is (ha a hiba frekvencia hiba akkor a θ_e ciklikusan 0-tól 2π felé változik ,ez a vektor(ezzel együtt a konstelláció) forgását idézi elő):

$$\sqrt{2E_b/T_s}e^{j2\pi f_m t + \theta_n} \cdot e^{-j2\pi f_m t + \theta_e} = \sqrt{2E_b/T_s}e^{\theta_n + \theta_e}$$

Ahhoz hogy ezt ki tudjuk kompenzálni ebből a hibából kell egy hibajelet generálni.A fázishiba jelet úgy képzem, hogy 2.5 ábrán látható módon szorzom a döntés előtti $(I_{inaccurate}, Q_{inaccurate})$ és utáni $(I_{limited}, Q_{limited})$ szimbólumok valós és képzetes részét és kivonom őket egymásból [3].

$$u_{phaseerror} = I_{inaccurate}Q_{limited} - Q_{inaccurate}I_{limited}$$

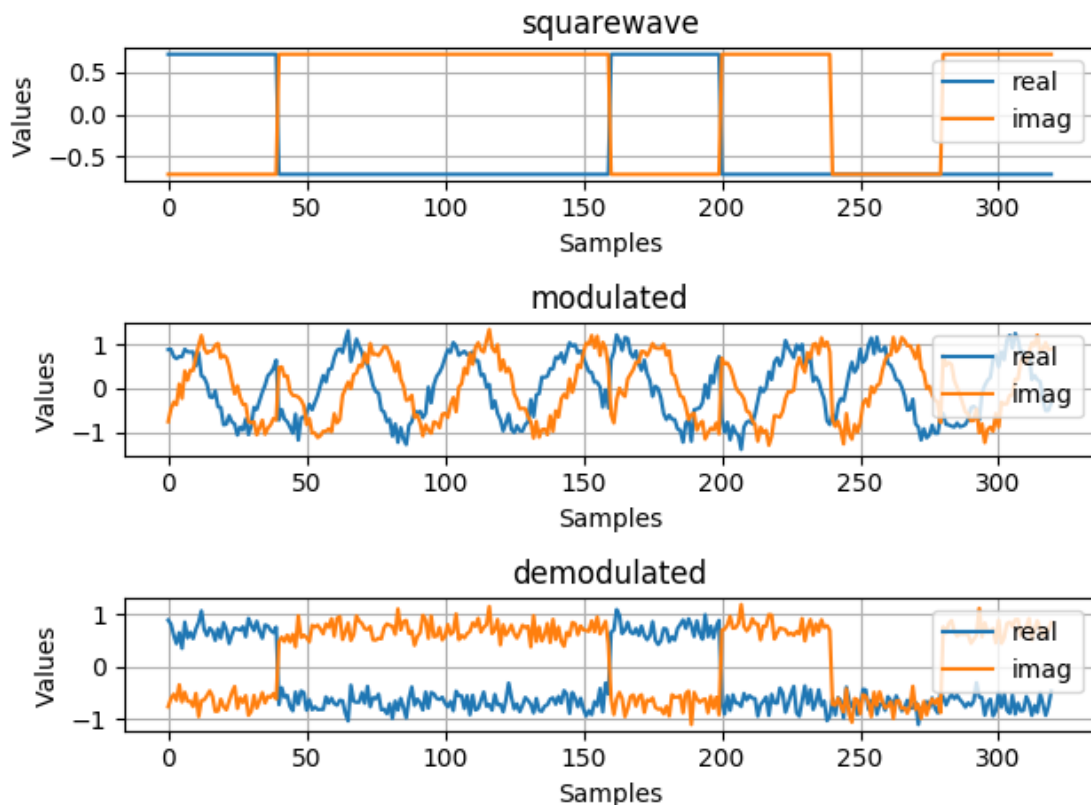
Ezt a hibajelet szűrve és integrálva használja a vevő a fázis- és frekvenciahiba kijavítására.

2.2. QPSK szimuláció a gyakorlatban

A szimulációra azért van szükség mert ha elkészül a realizációja az adónak és a vevőnek, ellenőrizni kell a hatékonyságát. Erre egy szimuláció ahol tudjuk hasonlítani a realizált működést az optimális szimulált működéshez a legalkalmasabb. Ehhez szimulálni kell az adatok előállításától a demodulációig a csatornában felszedett hibákkal együtt mindent. Emellett a vevő oldali szimulációs programkód a valós vételre is fel lesz használva; az adó oldali programkód részei pedig az modulációt végző mikrokontrolleren futnak.

2.2.1. Ideális eset

Témalabor alatt a modulációt szimuláltam és teszteltem [8], önálló laboratórium [9] alatt pedig a demodulációval kezdtem el foglalkozni de nem fejeztem be, ezért ebben a félévben folytattam a vele való munkát. Az elméleti részben leírtak alapján QPSK demoduláció ideális esetben csak a moduláló vektor forgásirányával ellentétes irányú körforgóvektorral való visszaszorzásból áll. Az 2.3 ábrán egy ilyen demoduláció látszódik AGWN-csatornán. A szimuláció a témalabor keretei közt tesztelt kódot használja és működése ugyanazon a módon folyik. Az arról írt beszámolómban részletesebben taglalom a működését [8].



2.3. ábra. AGWN demoduláció

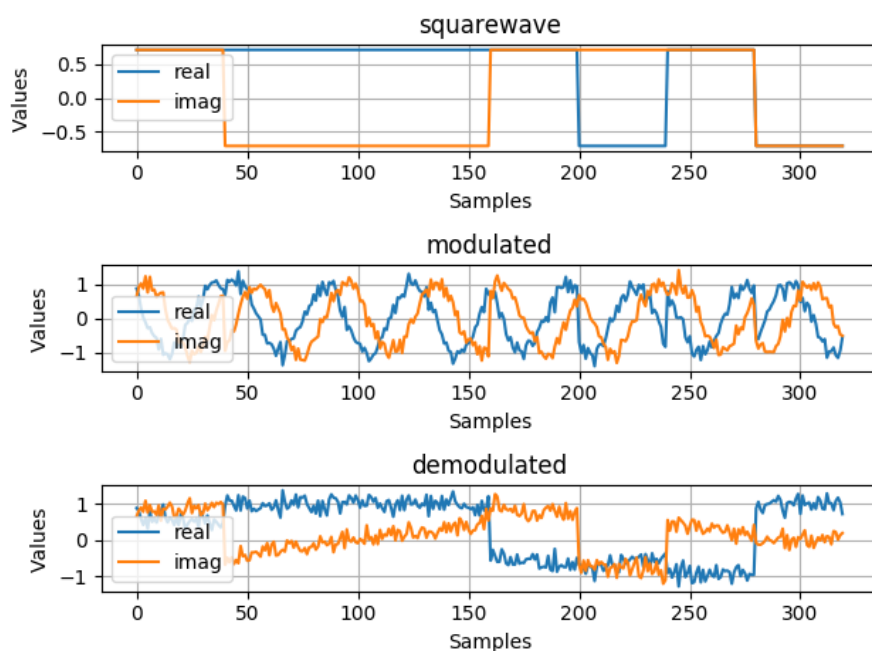
1. Először egy adott mennyiségű adat generálódik véletlenszerűen a `randombytes.c` (5.1) kóddal
2. Ezekből QPSK szimbólumok képződnek a `byte2symbol.c`(5.2) kóddal. A QPSK szimbólumok 00,01,10,11 bit kettősöket tartalmaznak.
3. Ezután az `increment.c`(5.4) kóddal inkrementálódik a jel(gyakorlatilag egy megadott szorzó szerint ismétlődnek ugyanazok a szimbólumok egymás után), hogy modulálható legyen
4. Majd felszorozódik egy komplex körforgó vektorral, ezt a `cncoc.c`(5.5) végzi(Complex Number Controlled Oscillator)
5. Ezután Gauss-i fehér zaj adódik a jelhez az `agwn.c`(5.3) kóddal
6. Egy másik CNCO-val ami az előző konjugáltját generálja(5.5) visszaszorozom a jelet

Látható hogy ez demoduláció tökéletes abból a szempontból, hogy a jelből teljesen eltűnt a moduláló jel frekvenciakomponense.

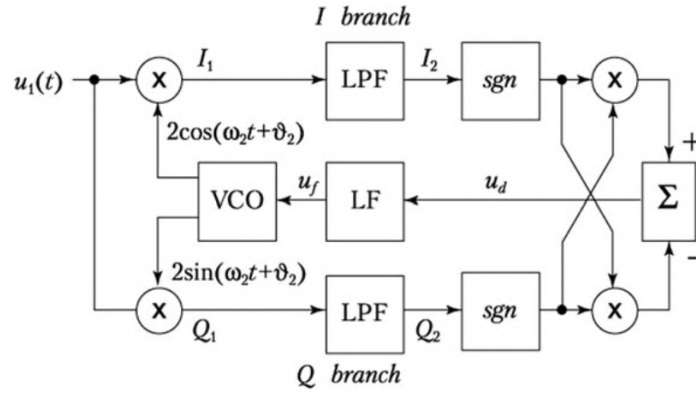
2.2.2. A frekvencia- és fázishiba

Egy például LEO pályán keringő műhold viszont kb 28000 km/h sebességgel kering a Föld körül ez a Doppler-effektus miatt több tíz kilohertzes csúszást eredményezhet 2 GHz körül, ahol a műhold tervezett adósávja elhelyezkedik.

Ez jelentős nemkívánatos frekvenciakomponenseket hoz be a spektrumba, sőt a földi vevőállomás és a műhold lokál oszcillátorának a frekvencia és fázisbeli eltérése is hibát okoz 2.4. Tehát szükség van egy eszközre ami kikompenzálja a fázis és frekvenciahibát. Ez a Costas-hurok 2.5 [3].

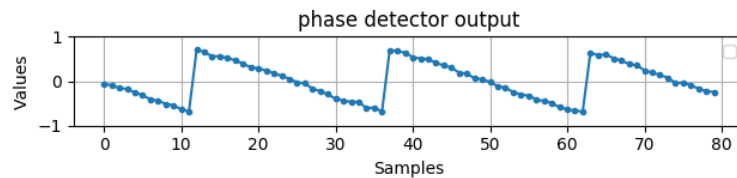


2.4. ábra. Frekvenciahibás(5 kHz) demoduláció

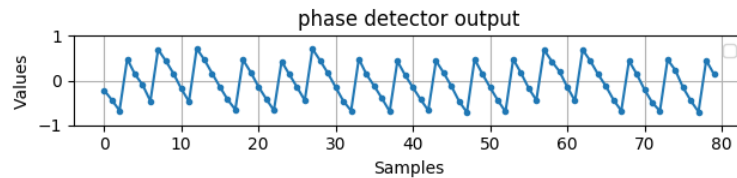


2.5. ábra. A Costas-hurok

1. Az előző szekcióban leírt módon generálva lesz egy modulált jel, majd nem a moduláló hanem egy ahhoz képest ofszettel rendelkező frekvenciával szorozódik vissza.
2. Ezután dekrementálódik a decrementbinary.c(5.7)kóddal
3. A dekrementált jelet vizsgálva döntök hogy valójában melyik szimbólum is érkezett meg.
4. Az elméleti részben leírtak alapján a 2.5 ábrán látható módon szorozódik a döntés előtti és utáni szimbólumok valós és képzetes része ezután kivonódnak egymásból (5.9). Ez adja a fázishibát 2.6 2.7 .
5. Eza fázishiba jel utána integrálva lesz.
6. Az integrált fázishibával pedig egy CNCO-t(Complex numerically-controlled oscillator) léptetődik előre, és az oszcillátor jelével visszaszorozódik az aktuális jel adat. Az aktuális kódomban még nincs a hibajelen szűrő, ezzel majd optimalizálni lehet a működését és alkalmasabb lesz a zajosabb jelek kompenzálására is. A moduláló, modulált és demodulált jel(plusz az előbbi konstellációs ábrája) látszódik a 2.23 képen.



2.6. ábra. Fázisdetektor jele(1 kHz vevő ofszet)



2.7. ábra. Fázisdetektor jele(5 kHz vevő ofszet)

2.2.3. A moduláció megvalósítása GNURadio szoftverrel

A félév elején foglalkoztam az előbb leírt szimuláció megvalósításával GNURadio környezetben is. Ennek a célja az volt hogy legyen egy átfogó képem az egész QPSK adatátviteli láncról. Ezt a GNURadio grafikus felületet és jelábrázolási funkciói nagyban elősegítették.

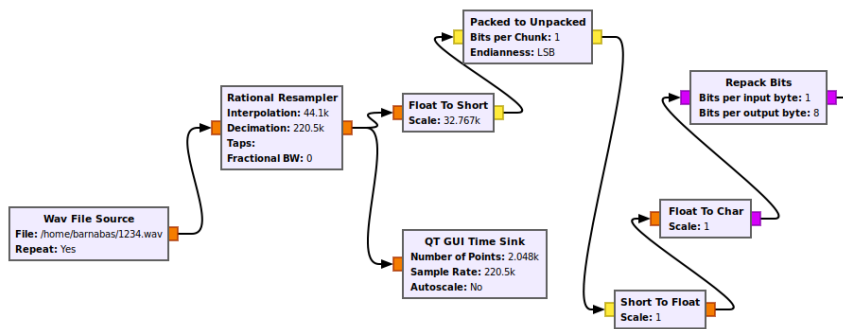
Megvalósítottam egy .wav file átvitelét,először szoftveresen szimulálva, ezután pedig két B200 mini típusú szoftverrádióval le is teszteltem az átvitelt.

Az adó rész egy wav fájl forrásból áll, utána egy audió kodek megvalósítás található majd egy blokk mely komplex szimbólumokká alakítja a byte-okat.

A vevő rész először megkeresi a megfelelő mintavételi időpontot, egységkörre rakja a szimbólumokat majd kijavítja a frekvencia és fázishibát.

Az audió kodek

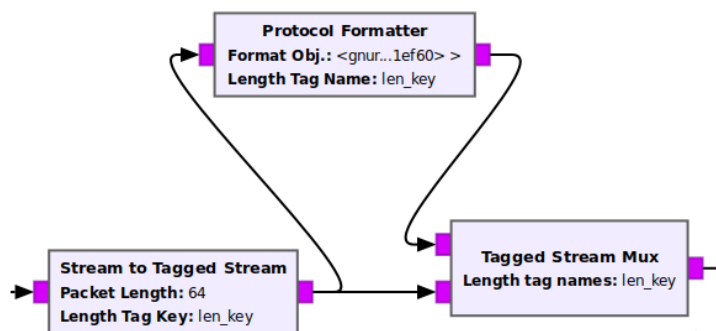
A .wav fájl forrás float értékeket küld ki magából, ezeket byte-okká kell alakítani. Ezt egy LPCM kodek végzi 2.8, azaz Linear Pulse Code Modulation. Gyakorlatilag a legegyszerűbb kodek amely a float értékeket kicsomagolja byte-okká, tehát egy 32-bites értéket 4 darab 8-bites értékre bont semmi más tömörítést nem végez.Az audiofájlt mintavételi értékek sorozataként továbbítja. Azért ezt a kodeket választottam mert egyszerű, GNURadio-s blokkokból megvalósítható és ebből kifolyólag könnyen érhető.



2.8. ábra. A .wav fájl float értékeinek 8-bitre bontását végző kodek része a programnak

A csomagokra bontás

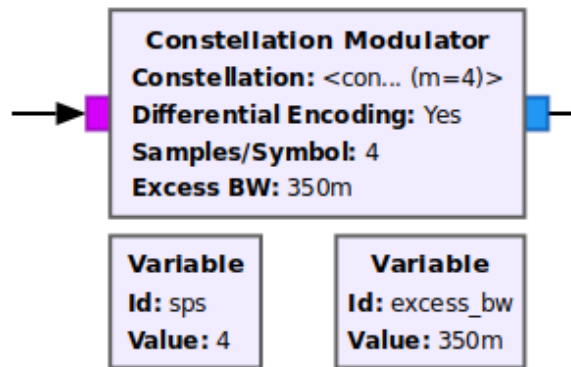
Ahhoz, hogy akármilyen fájl eleje és vége meglegyen egy rádiós kommunikációban célszerű őket adott hosszúságú csomagokra bontani. Ezt végzi a következő része az adatátviteli láncnak 2.9. Ehhez a GNURadio Tagged stream funkcióját kell használni, és a Protocol formatter blokkot, mely egy "fejléccet" fűz minden packet-hez, tehát megjelöli az elejüket egy bitsorral.



2.9. ábra. A csomagokra bontást a Tagged stream blokk és a Protocol Formatter végzi

A szimbólumokká alakítás

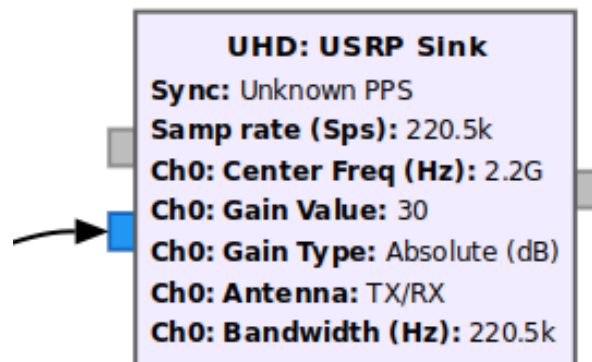
A QPSK moduláció komplex szimbólumokat használ, egy szimbólum két bites és megvan melyik két bit a konstelláció melyik értékének felel meg. A következő blokk, a modulátor 2.10, ezt a megfeleltetést végzi Gray-kódolás alapján, tehát a kimenete komplex értékek.



2.10. ábra. A modulátor blokk, melyen be lehet állítani az négyzetgyök-emelt-koszinusz impulzus formálás lekerekítési paraméterét

USRP Sink

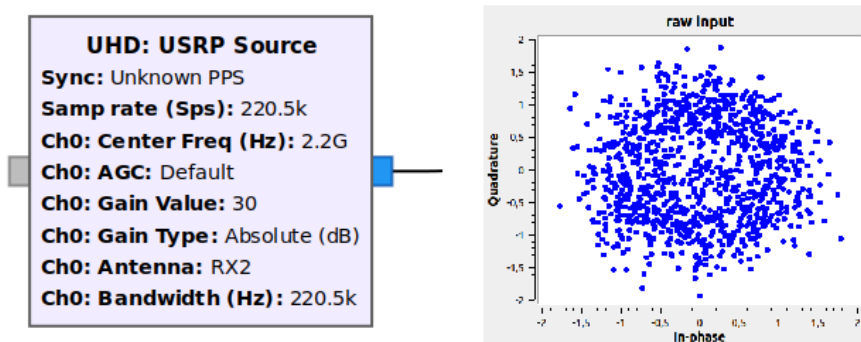
Ez a blokk 2.11 a B200 mini-be irányítja át az általam generált komplex szimbólumokat. A hardver pedig kiküldi ezt a jelet a beállított középfrekvencián.



2.11. ábra. Az USRP Sink blokk, beállítva 2.2GHz-re, mely az összes USRP szoftverrádiót támogatja

USRP Source

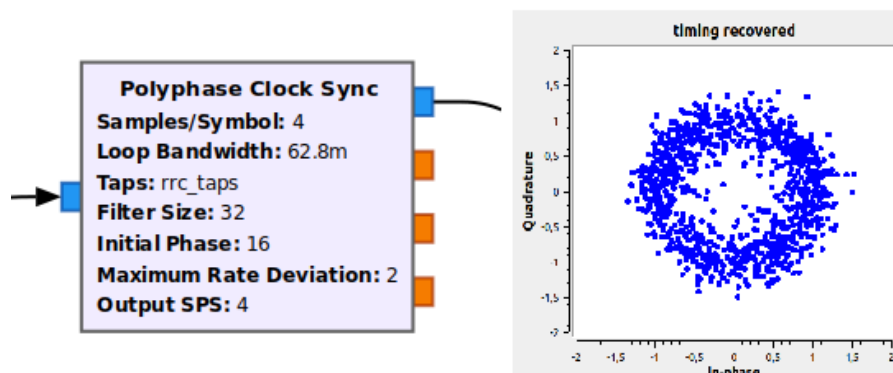
Ez a blokk 2.12 a vevő részen B200 mini-ből, a megadott frekvenciáról lekevert, alapsávi jelet küldi tovább a programnak.



2.12. ábra. Az USRP Source blokk, beállítva 2.2 GHz-re és kimeneti jelének konstellációja

A legjobb mintavételi időzítés megkeresése

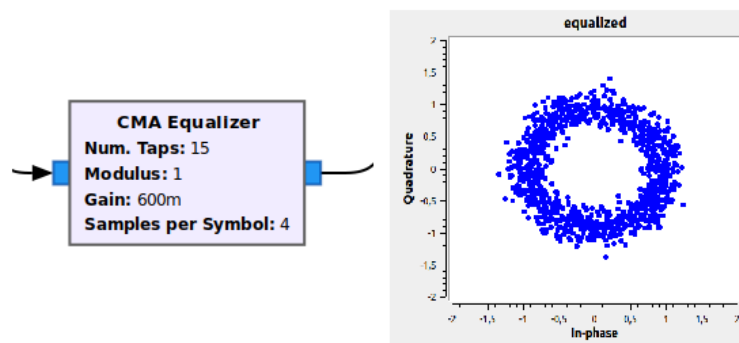
A következő blokk 2.13 arra szolgál hogy a bejövő szimbólumok pulzusainak a csúcsán mintavételezze ne pedig az átmenetkor, mivel a szimbólumokká alakításkor egy emelt koszinusz szűrővel "lekerekítette" a jelet ezért itt egy másik emelt koszinusszal illesztett szűrőként megpróbálja legjobban visszanyerni az eredeti jelet. Minimalizálva a szimbólumáthallást.



2.13. ábra. Polyphase Clock Sync blokk, mely a jó mintavételezési időzítés visszaállítására szolgál, és kimeneti jelének konstellációja

Egységkörre rakás

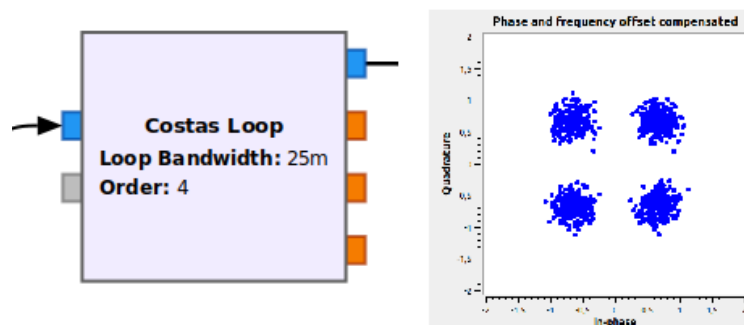
A CMA Equalizer blokk 2.14 pedig a zajos, nem konstans amplitúdójú jelet megpróbálja az egységkörre tenni, tehát 1-nél ne legyen nagyobb a komplex vektor hossza.



2.14. ábra. A képen a CMA Equalizer blokk(és kimeneti jelének konstellációja) látható, átlagoló ablak segítségével az összes szimbólumot az egységkörösre rakja

Costas hurok

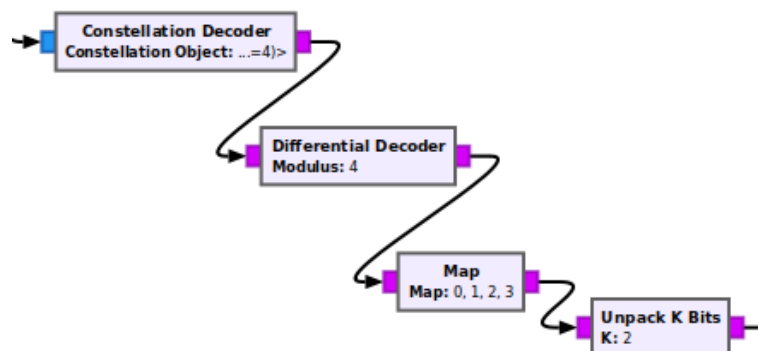
A Costas-hurok funkciójáról és működéséről már sok szó esett ebben a dokumentumban



2.15. ábra. A Costas-hurkot megvalósító blokk és kimeneti jelének konstellációja

A demodulátor

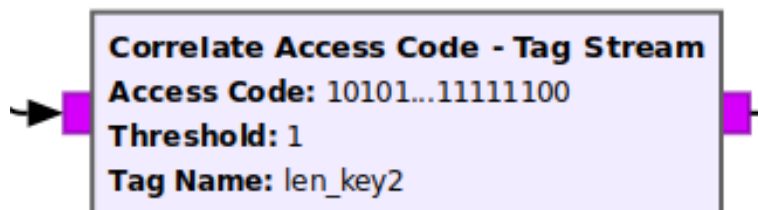
A különböző torzítási hibáktól mentesített szimbólumok pedig itt 2.16 demodulálódnak, tehát átalakulnak komplex szimbólumból byte folyamattá.



2.16. ábra. A Costas-hurkot megvalósító blokk és kimeneti jelének konstellációja

A csomagok szétszedése

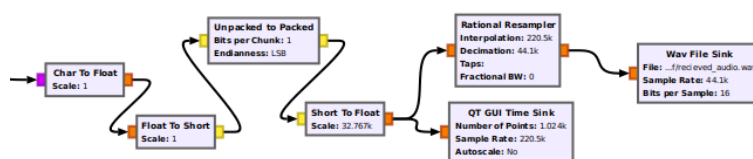
A következő blokk 2.17 megkeresi a fejléct a csomagok eleje megtalálásának céljából, azután megfosztja a csomagokat a fejléc bitektől és kiadja már csak a hangfájl byte-jait.



2.17. ábra. A Correlate Access Code blokk a fejlécben megadott bitsort keresi, ha megtalálja akkor tovább engedi a stream-et és leszedi a fejléct

A byte-okból hangfájl

Itt 2.18 az adat byte-okat már csak össze kell fűzni négyesével float-okká és kész a .wav fájl.



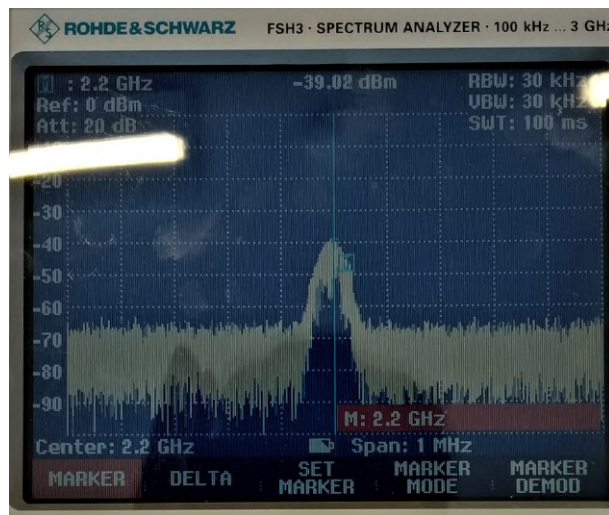
2.18. ábra. Az itt látható blokkok azt csinálják mint az adó oldalon lévő audio feldolgozó blokkok csak fordított sorrendben

Megvalósítás

Az adó és vevő szerepét is egy-egy B200 mini 2.20 típusú SDR töltötte be, a kimenő jel ki lett mérve spektrum analízátorral 2.19.

Tapasztalatok

A GNURadio program nagyon hasznos segítség a különböző modulációk részletes működésének megértésére, de Python kódot futtat ami bizonyos sebességek után nem optimális. Ha a felhasználó komolyabb jelfeldolgozási láncot akar létrehozni benne ,személyes tapasztalataim alapján, az igényes dokumentáció hiánya nagyon meglassítja a munkát benne. Ezért írtam egy saját grafikus megjelenítő programot mely az általam már megírt szimulációs C kód jeleit rajzolja fel folytonos animációval. A jövőbeli jelfeldolgozó kódom hibakereséséhez írtam és hasznos lesz majd ehhez ez az ábrázoló környezet. A következő szekcióban röviden leírom az ábrázoló kód működését.



2.19. ábra. Az adó oldali SDR kimeneti jelének spektruma egy Rhode & Schwarz FSH3 hordozható spektrum analízátoron



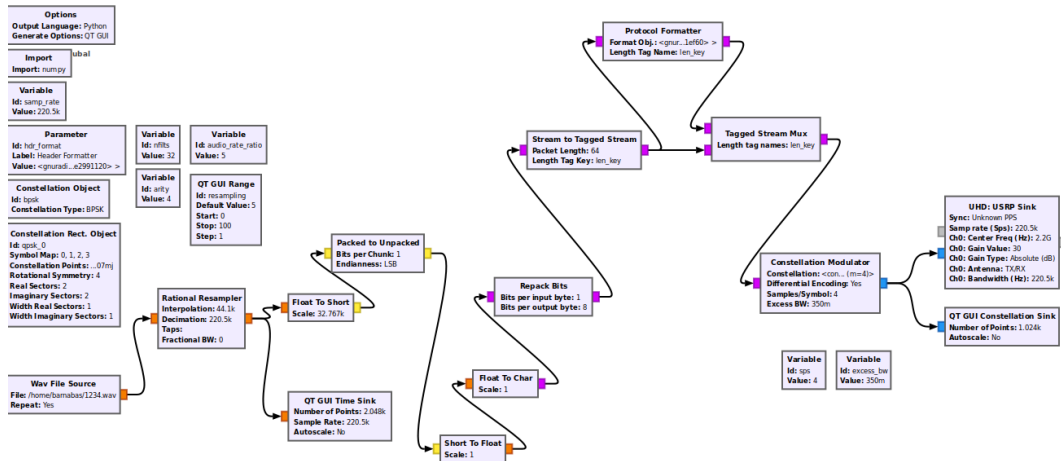
2.20. ábra. Az adó és vevő B200 Mini összekapcsolva a megfelelő csatlakozóikon keresztül

A szimulációs ábrázoló program

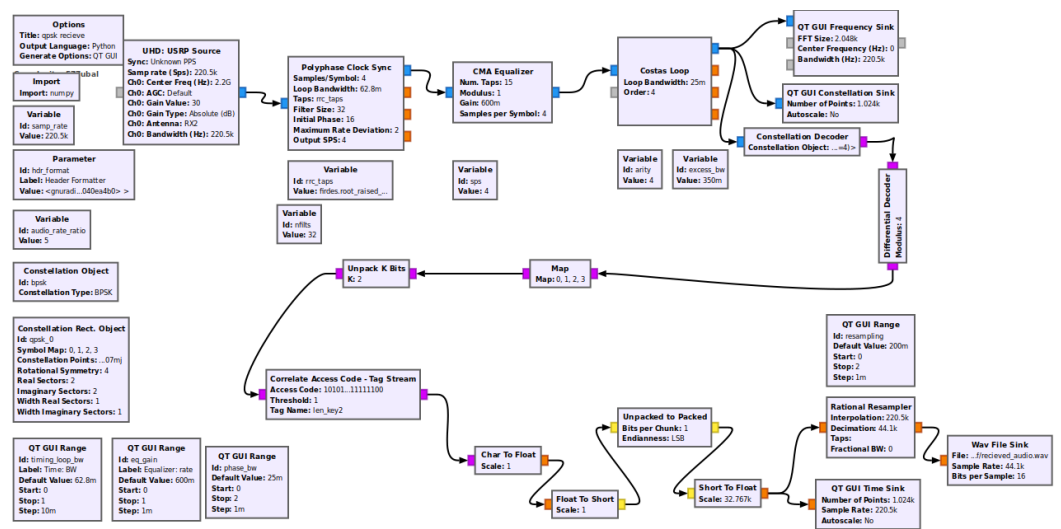
Az egész szimulációs kódot egy Shell script 5.12 fogja össze mely egymás után hívja meg a jelfeldolgozó C programokat és a kimenetüket a Pipe operátor(|) segítségével összeköti. A tee nevű program segítségével viszont minden jelfeldolgozási fázisban ki lehet írni egy bináris fájlba a kimenetet. Ezen bináris fájlokat olvassa és rajzolja ki a program, mely párhuzamos folyamatként fut a háttérben 2.23.

A animációs program Python-t használ, azon belül a matplotlib könyvtár animációs modulját 5.13, de mivel ez csak hibakeresésre és vizualizációra lesz felhasználva nem merülnek fel teljesítménybeli kérdések. A jelfeldolgozó részt nagyon egyszerű importálni egy összefüggő C kódba.

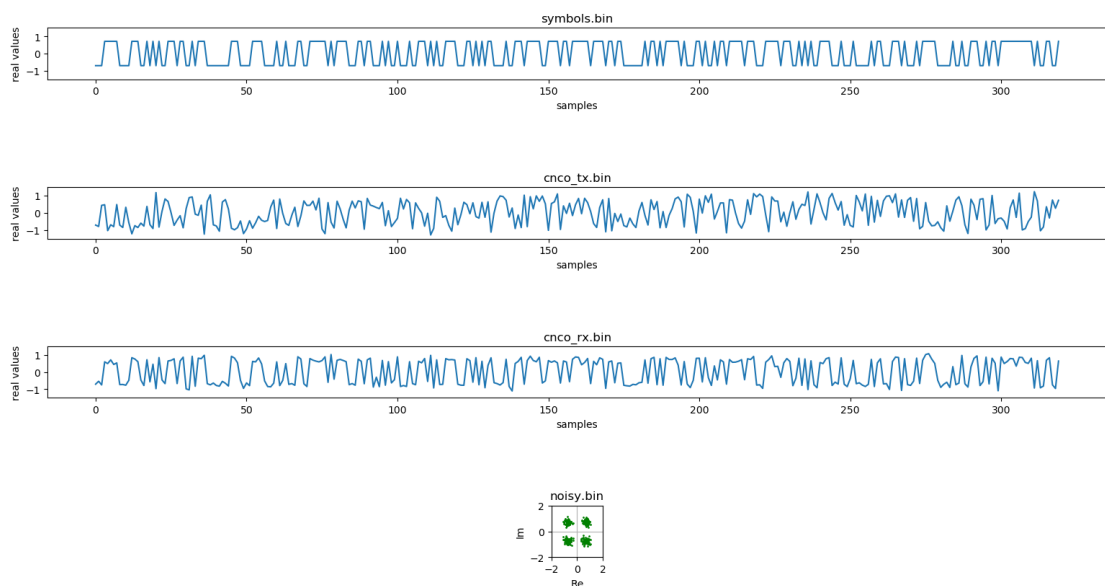
A ábrázoló kód úgy van megírva hogy könnyen lehessen új jeleket hozzáadni, egyenlőre két típusú ábrázolásra képes: időtartománybeli komplex és konstellációs.



2.21. ábra. Az adó teljes folyamábrája



2.22. ábra. Az vevő teljes folyamábrája



2.23. ábra. Pillanatkép a szimuláció működése közben

3. fejezet

IQ adó tervezése

Az adónak a tervezési irányelvei:

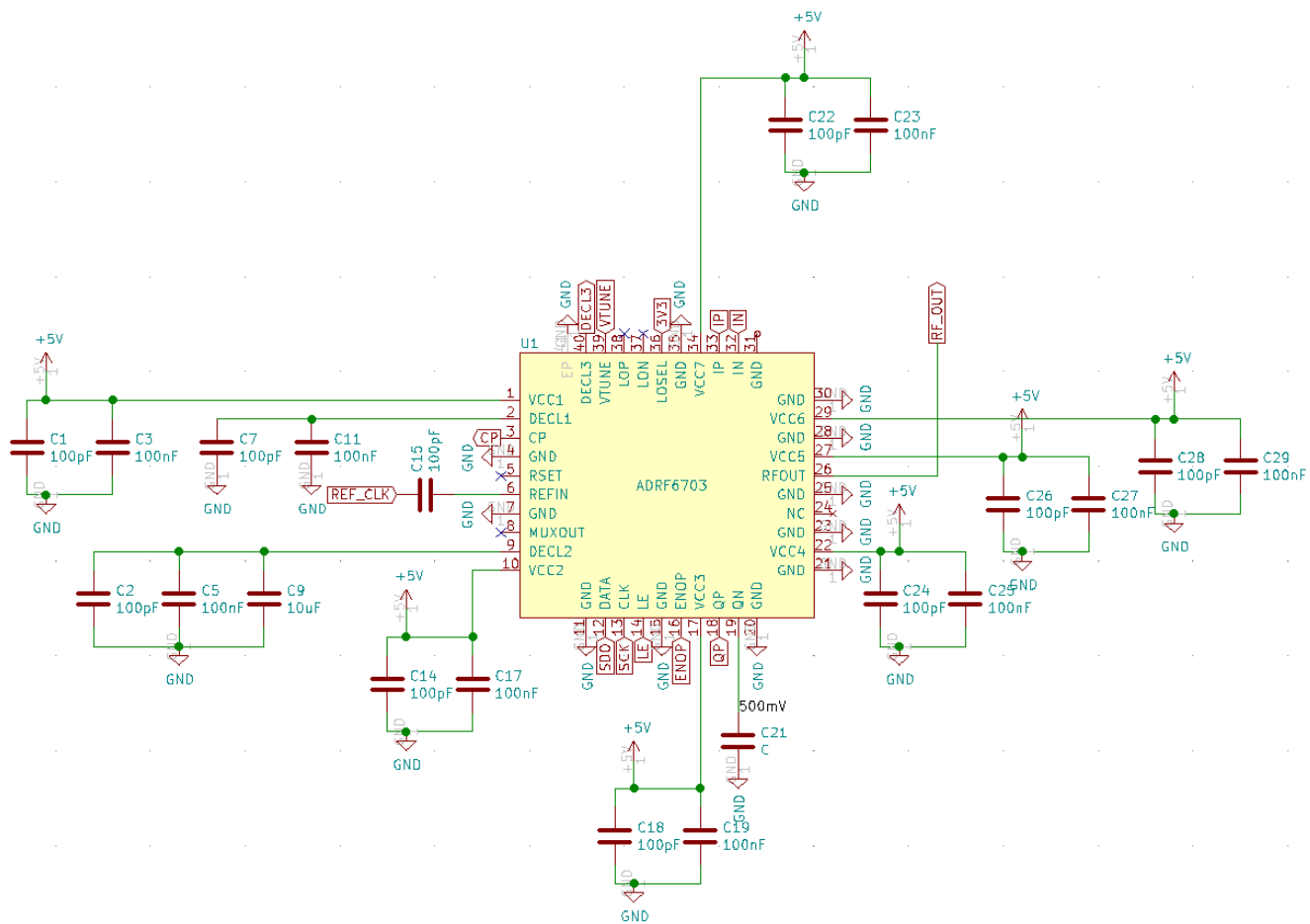
- 2.1-2.6 GHz adófrekvencia
- Alacsony fogyasztás(< 1 A)
- Kis méret(ideális 4x4 cm)
- Kis súly
- 5V tápfeszültség
- QPSK moduláció, 10kbit/s - 200kbit/s kódolatlan adatsebesség
- Kimeneti teljesítmény: körülbelül 1 W

Az adó teljes kapcsolási rajza: 3.8

3.1. Az IQ szintézer

A szintézer IC-t Analog Devices kínálatából választottam mert megbízható és erre a célra megfelelő integrált lokáloszcillátorral ellátott IQ modulátor chippeket gyárt.

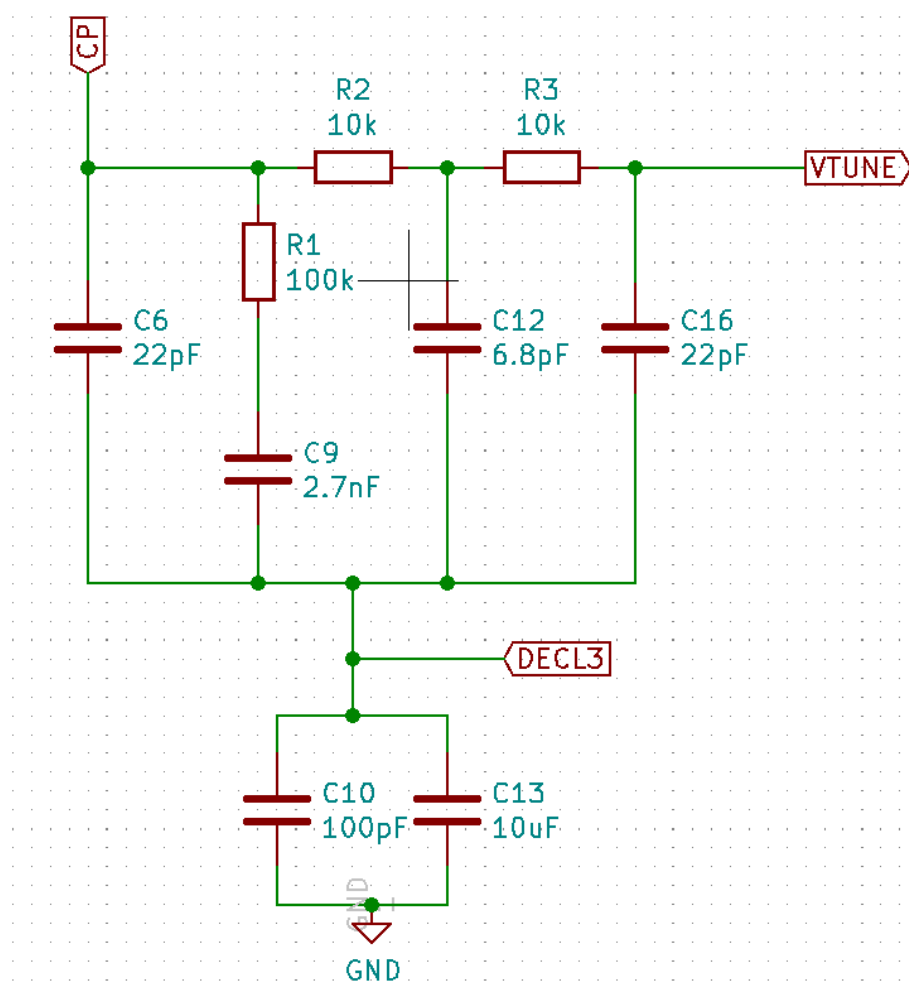
A tervezési irányelveket figyelembe véve 3 IC-re szűkült a választási lehetőség: ADRF6702, ADRF6703, ADRF6704. Ezek közül az ADRF6703 bizonyult a legjobb választásnak(az ADRF6703 jobb választás az ADRF6702 alacsonyabb fogyasztása de rosszabb rádiós paramétereivel szemben).



3.1. ábra. ADRF6703

A szintézer IC bekötése [4] :

- REFIN: LFTCXO075797 típusú hőmérsékletkompenzált 20MHz-es oszcillátor szolgáltatja az IC referencia órajelét, leválasztva kondenzátorral
- VCCx és DECLx csatlakozók: Az adatlap szerint leválasztva kondenzátorokkal
- RFOUT: RF jel tovább a végfok erősítőbe
- SDO,SCK,LE: SPI kommunikációhoz szükséges csatlakozók, a controller IC-hez csatlakoztatva
- ENOP: Modulátor kimenet vezérlő, controller IC-hez csatlakoztatva
- CP és VTUNE: Az adatlapban ajánlott 130kHz hurok szűrő vezet CP-ből VTUNE-ba

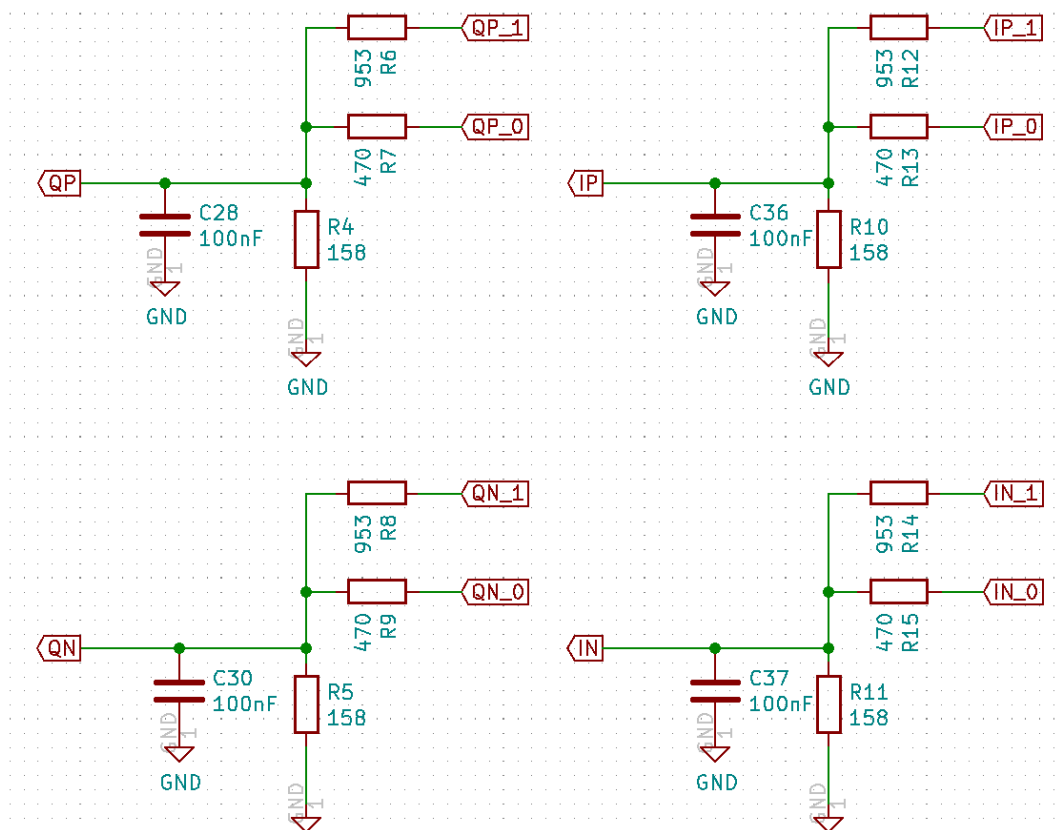


3.2. ábra. A 130kHz hurokszűrő

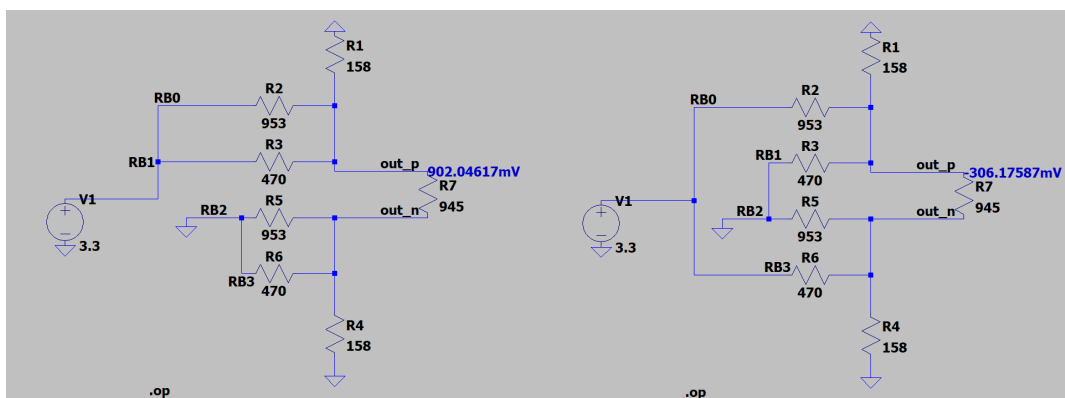
- I és Q differenciális bemenetek: A feszültségszintek QPSK-ra(16QAM is konfigurálható) lettek beállítva ellenállásokkal az alábbi hálózattal 3.3.

Az ellenállások értékeinek számolására írtam egy egyszerű MATLAB scriptet(5.10) és leszimuáltam LTSpice-ban ellenőrzésképp.

Az IN0,IN1,IP0,IP1 és QN0,QN1,QP0,QP1 bemenetek mind a controller RB portjából kapcsolódnak ide.



3.3. ábra. A feszültségbeállító hálózat



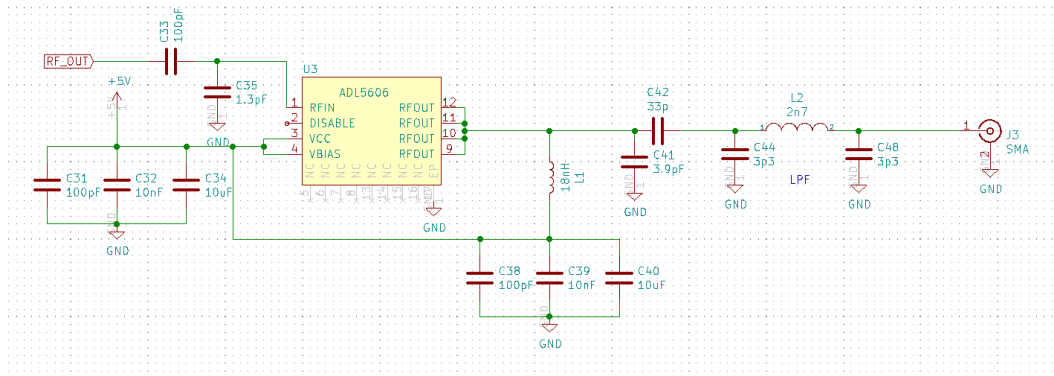
3.4. ábra. A feszültségbeállító hálózat LTSpice-ban

3.2. A végfok erősítő

A RF erősítő IC-t Analog Devices kínálatából választottam a szintézer IC során tárgyalt okokból kifolyólag.

Ha a tervezési irányelvek alapján egy erősítő felelt meg a paramétereknek, az ADL5606 [6]. Ezzel az IC-vel 2140 MHz-en a névleges kimeneti teljesítmény 822 mW.

Az RF erősítő bekötését az adatlapban specifikált módon végeztem [6], ezen kívül egy aluláteresztő szűrő szükséges volt az antenna elé spektrumasztk céljából.

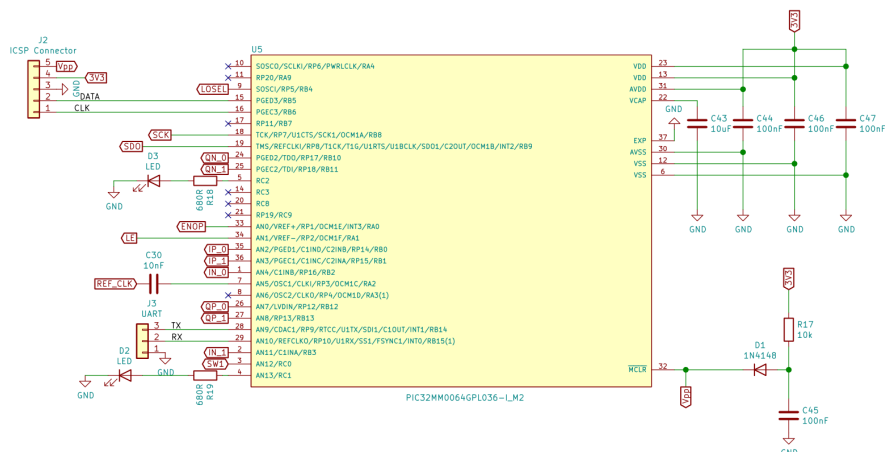


3.5. ábra. Az RF erősítő bekötése

3.3. A mikrovezérlő

A mikrovezérlőt a Microchip kínálatából választottam mert megbízható és erre a célra megfelelő alacsony fogyasztású 32-bites processzorokat gyárt.

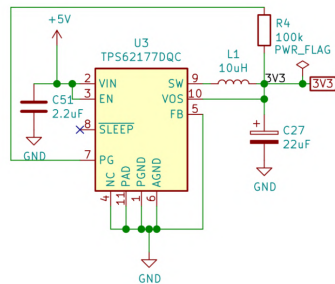
A PIC32MM0064GPL036 chippet választottam mert kicsi a fogyasztása, tud elég magas frekvencián(20MHZ) működni és tokozása megfelelő(36 pin-QFN)



3.6. ábra. A mikrovezérlő bekötése

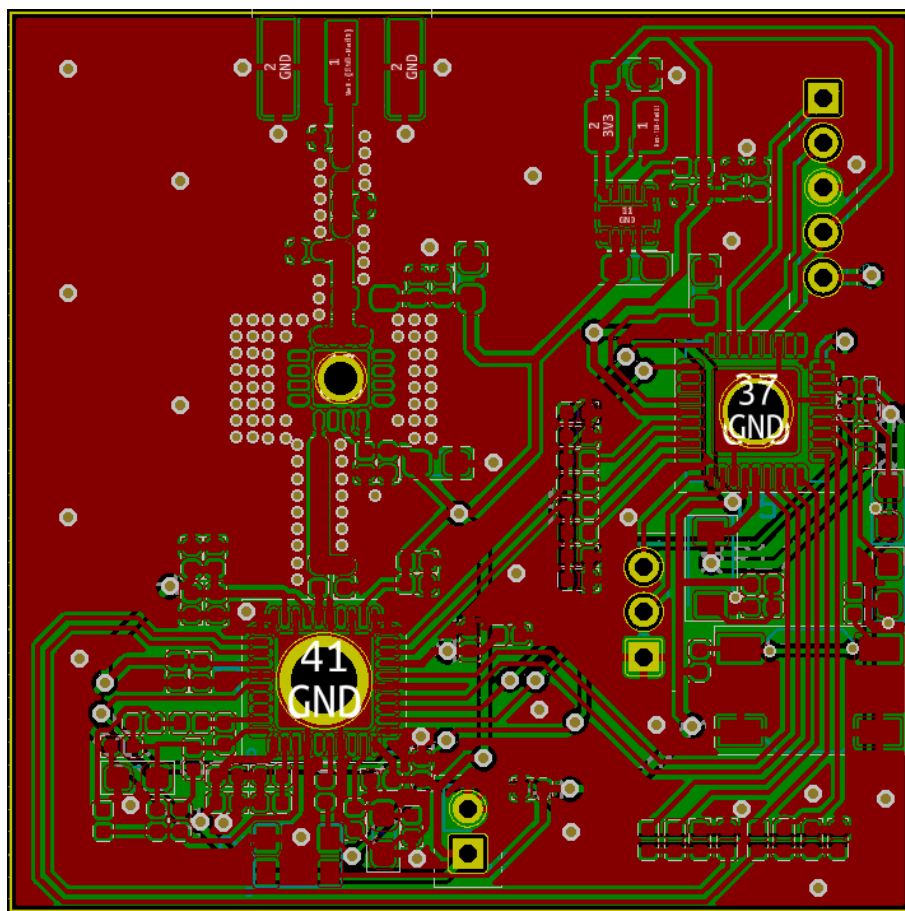
A mikrovezérlő bekötése [5]:

- 3V3 táp: Alacsony fogyasztású DC-DC konverterrel 3.7 ([7]) van előállítva a 3.3 V és leválasztva kondenzátorokkal az adatlap szerint



3.7. ábra. TPS62177DQC DC-DC konverter bekötése

- DATA,CLK és MCLR: ICSP programozó periféria
- RX és TX: UART periféria
- REFCLK: LFTCXO075797 típusú hőmérséklet-kompenzált 20MHz-es oszcillátor szolgáltatja az IC referencia órajelét, leválasztva kondenzátorral
- Szintézer irányításra kiosztott csatlakozók:
 - SDO,SCK,LE: SPI interfész, csak az a szintézer irányába
 - ENOP: modulátor ki/bekapcsolása
 - INx,IPx,QNx,QPx: I és Q differenciális kimenetek
- LED1, LED2 és SW1: tesztelés könnyítésére kiosztott lábak melyek egy-egy LEDhez és egy nyomógombhoz csatlakoznak, ezek nem lesznek rajta majd a jövőbeli repülő példányon

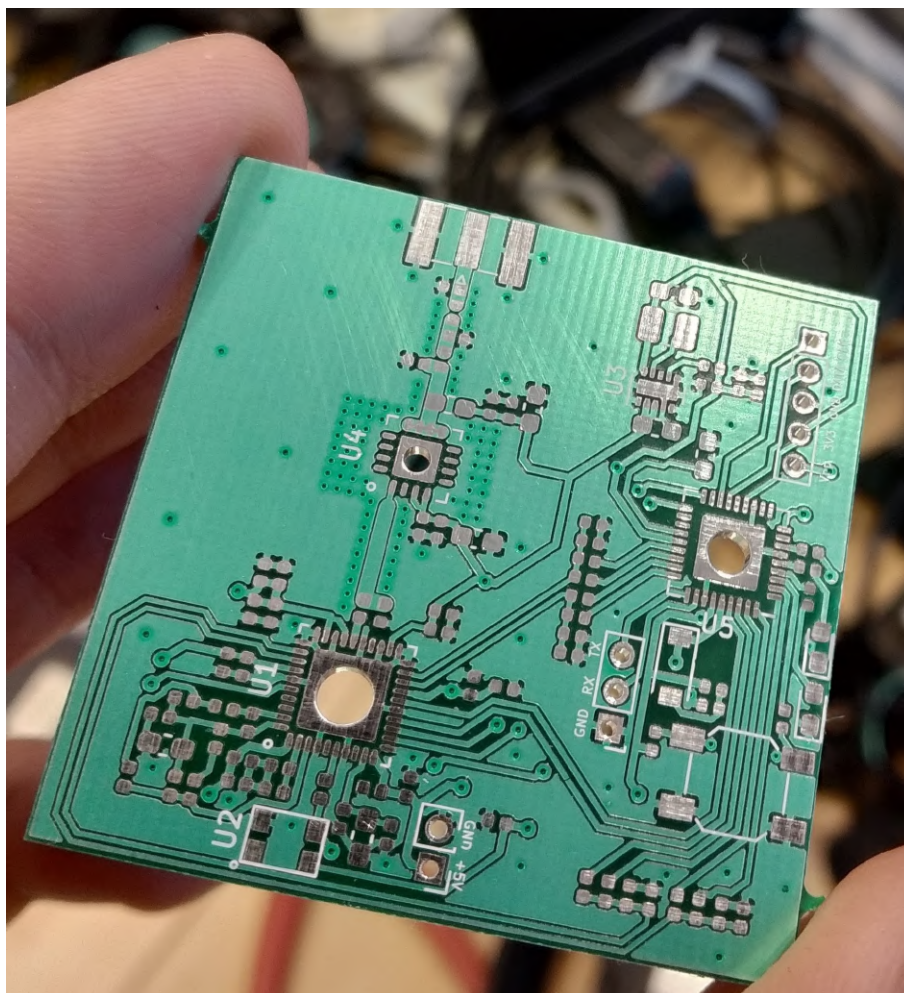


3.9. ábra. Az előbb tárgyalt kapcsolat nyomtatott huzalozású lemezen megvalósításának terve, részletes ábrák: 5.1, 5.2, 5.3

4. fejezet

IQ adó realizációja

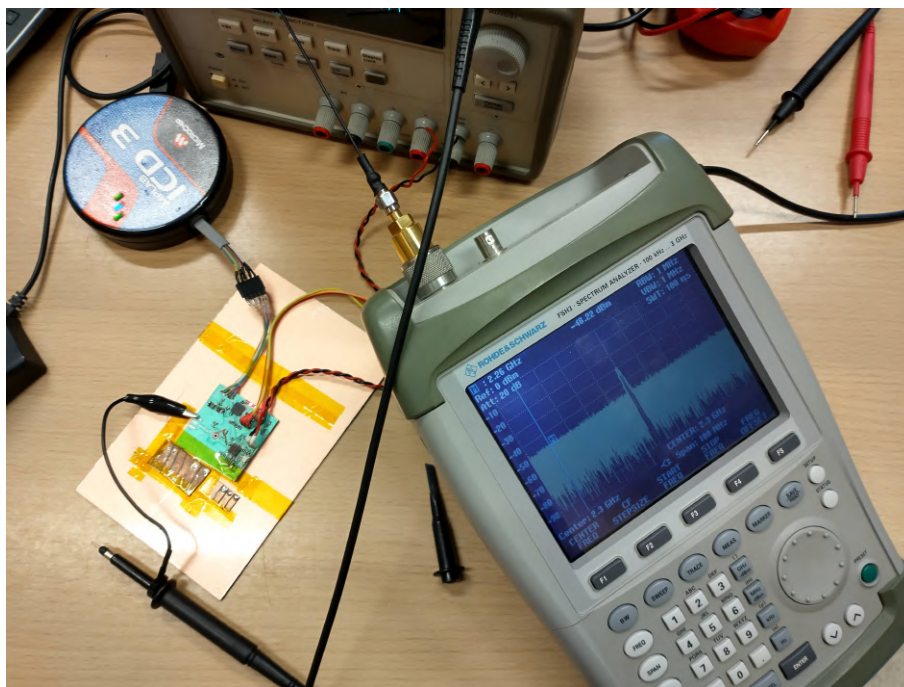
Miután az előző fejezetben tárgyalt nyomtatott huzalozású lemez le lett gyártva 4.1 és be lettek szerezve az alkatrészek, a következő lépés az összerakás volt. A alkatrészek ,ahelyett hogy egyszerre lettek volna beforrasztva, egyenként be lettek ültetve és működésük le lett tesztelve.



4.1. ábra. Az áramkör megvalósítása nyomtatott huzalozású lemezen

4.1. A beültetés és tesztelés metodikája

1. Először a mikrovezérlő tápellátását szolgáltató TPS62177 3.3V DC-DC konverter lett beforrasztva, multiméterrel le lett mérve a feszültsége. Majd egy $18\ \Omega$ terheléssel szintén ellenőrizve lett hogy tartja e az adatlapban specifikált paramétereket
2. Miután a tápellátása le lett tesztelve, a PIC32MM0064GPL típusú mikrovezérlő lett beforrasztva. Először a programozó interfész(ICSP) lett ellenőrizve egy ICD 3 típusú programozó perifériával. Majd a soros interfész(RX,TX lábak) működése is ki lett próbálva egy USB-TTL átalakító segítségével. Az SPI interfész jele oszcilloszkóppal lett ellenőrizve a SCK, SDO és LE lábakon(ezek szükségesek a szintézer programozásához).
3. A következő lépés az LFTCXO075797 típusú hőmérséklet-kompenzált 20MHz-es oszcillátor beültetése, jelének lemerése oszcilloszkóppal volt
4. Miután sikerült úgy beállítani a mikrovezérlőt, hogy a külső oszcillátor jeléről fusson(ellenőrzés a rendszer órajel kivezetésével) a következő lépés az ADRF6703 típusú IQ szintézer beültetése volt. Rengeteg munka után sikerült a chip regisztereit megfelelően konfigurálni. A szintézer működésének gyors ellenőrzése egy Rhode & Schwarz FSH3 hordozható spektrum analízátorral történ a képen 4.2 látható módon (az áramkör bemenete labortápról ellátva 5V feszültséggel és 300mA áramkorláttal). A chip kimenetére egy vezeték lett forrasztva antennaként.

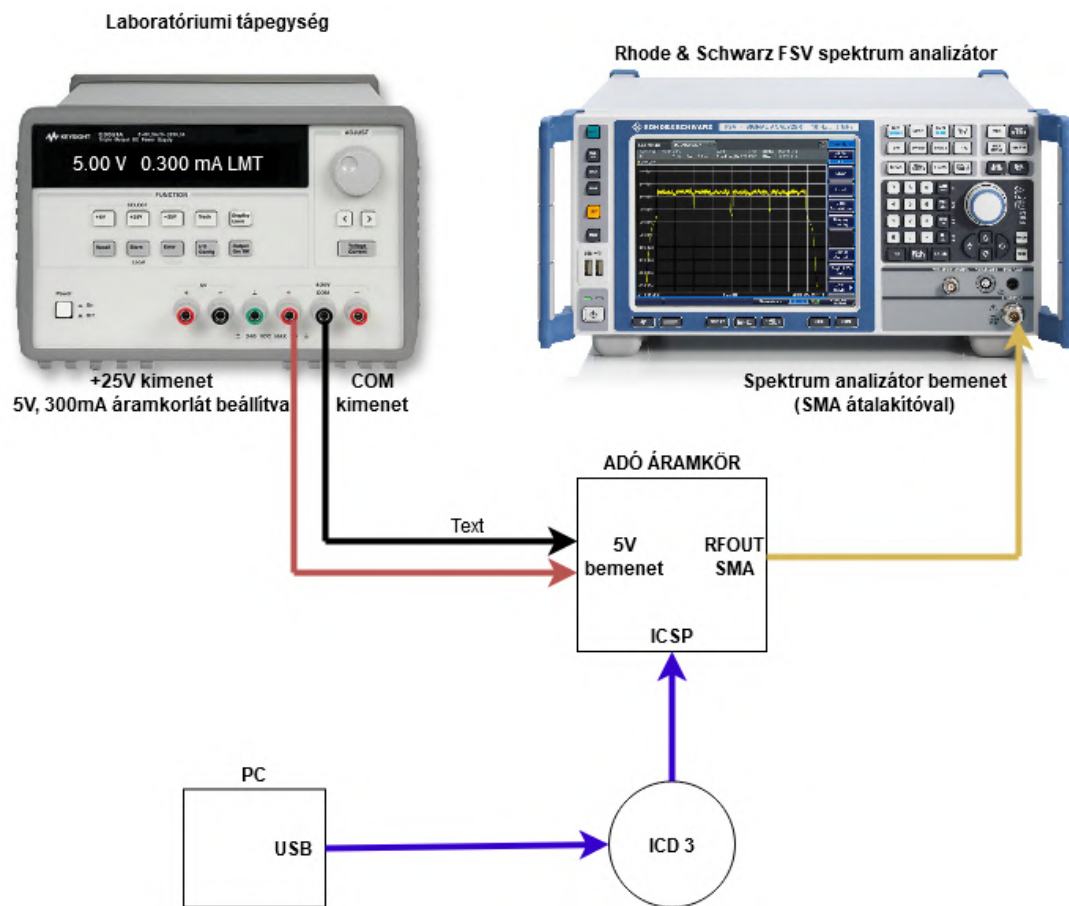


4.2. ábra. A szintézer ellenőrzése a chip kimenetére forrasztott méretezett vezetékkel antennaként

5. Az utolsó beültetendő alkatrész az ADL5606 típusú erősítő, melynek beüzemelése folyamatban van.

4.2. Az adó jelének kimérése

Az előző szekcióban a kimenő jel csak felületesen lett megmérve. Ebben a szekcióban, a szintézer kimeneti jelén, egy Rhode & Schwarz FSV típusú spektrum analízátorral folytatott mérés jegyzőkönyve következik. A mérés célja az adó megfelelő működésének ellenőrzése volt.



4.3. ábra. A mérési összeállítás blokkvázlata

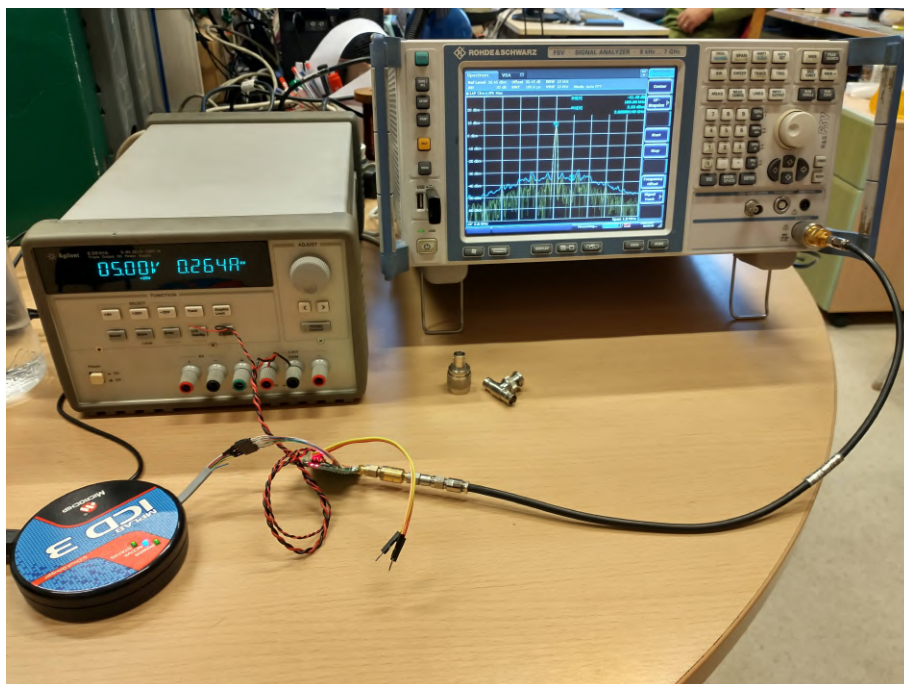
Az szintézer a mikrovezérlőn futó 5.14 program konfigurálja és küldi tovább neki a QPSK modulált adatsort.

Az adó három frekvencián lett kimérve háromféle bitsebességgel. Az áramkör képes adni 2100MHz-től 2600MHz-ig terjedő tartományon, ehhez három reprezentatív adófrekvencia: 2140MHz, 2340MHz, 2600MHz.

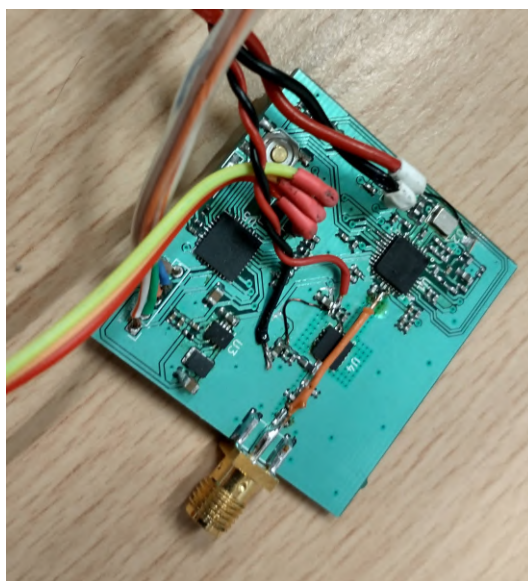
A háromféle szimbólumsebesség : 10kS/s, 100kS/s és 166kS/s (kS/s: kilosample per second). Mivel QPSK modulációt használ az áramkör, minden szimbólum két bitnyi információt tartalmaz, ezért a bitsebességek a következők: 20kbit/s, 200kbit/s és 332kbit/s.

A tesztelő adatsor egy álvéletlen, 512 byte-ból álló, byte sorozat. Ez ismétlődik ciklikusan a kimeneten, biztosítva az egyenlő szimbólumeloszlást, szimulálva egy valóságos adatátvitelt, a reális érési eredmények érdekében. A mikrovezérlőn futó kód

A mérési összeállításban szerepel az ICD 3 programozó periféria is. Ezzel lett beállítva az adófrekvencia és a szimbólumsebesség. Ezek a paraméterek a jövőben a mikrokontroller



4.4. ábra. A mérési összeállítás

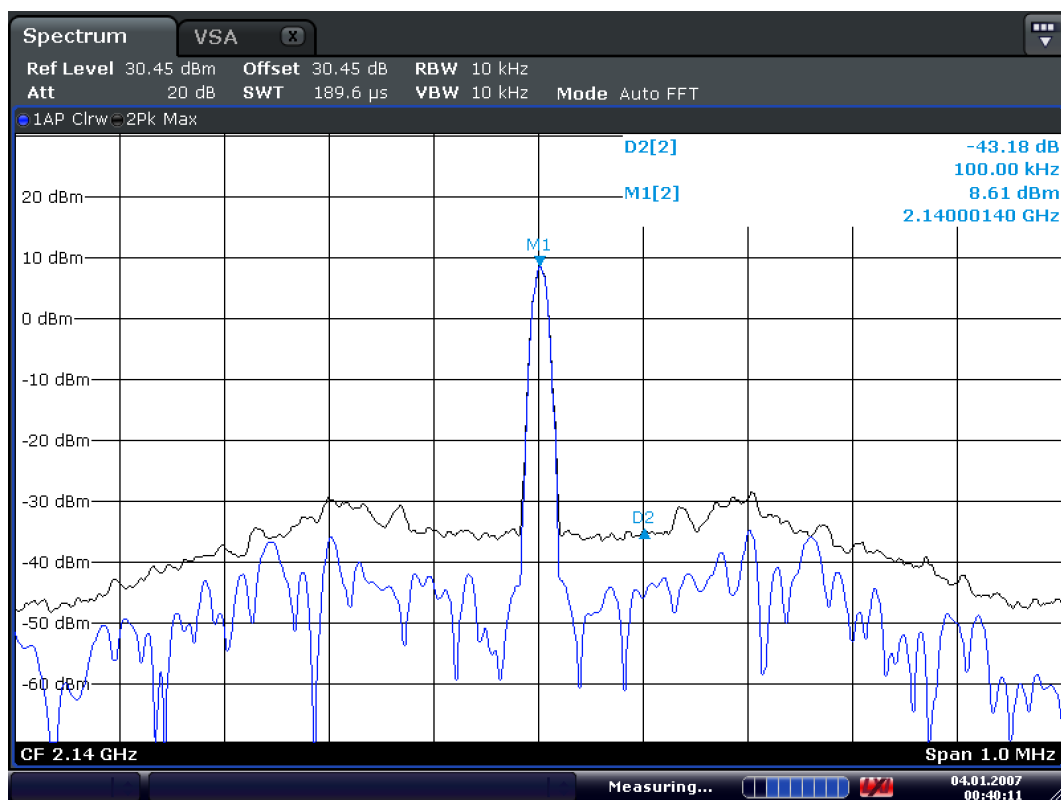


4.5. ábra. Az áramkör felkészítve a mérésre

valamelyik soros interfészen(UART,I2C,SPI) keresztül lesznek programozhatóak működés közben.

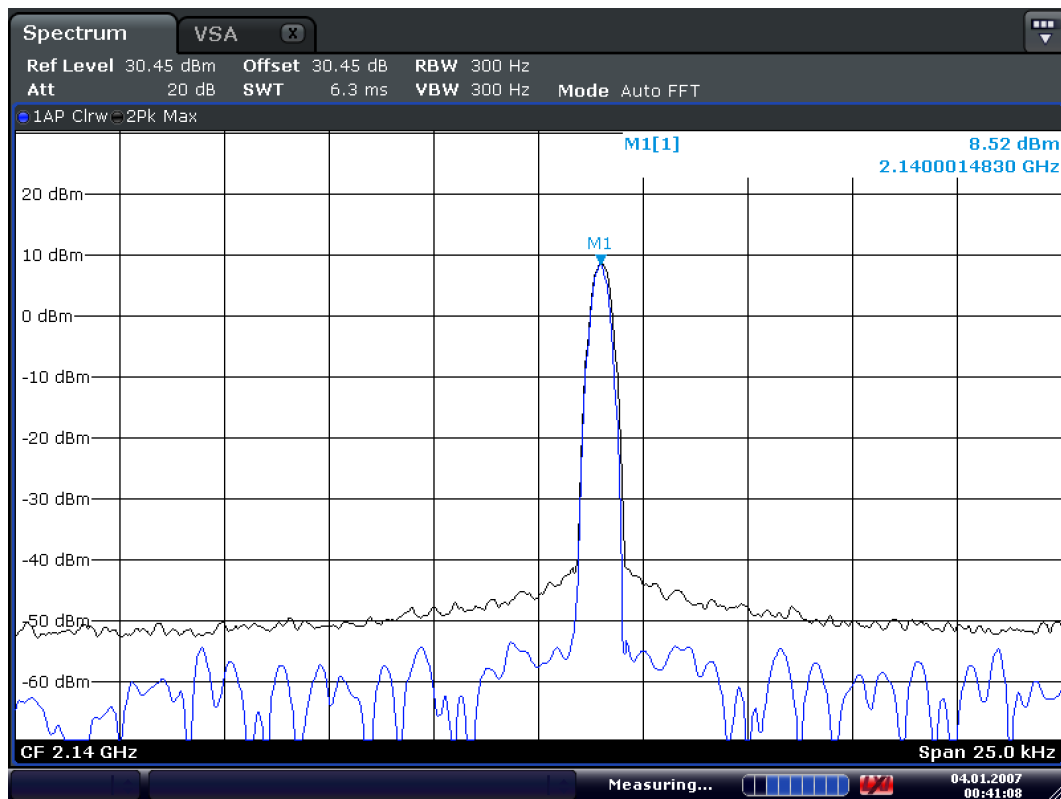
A konstellációs mérési eredmények a spektrum analízátor Vector Signal Analysis funkciójának segítségével lettek megmérve. Az additív gaussi zaj pedig az SMA konnektor széthúzásával adódott a kommunikációhoz.

4.2.1. Mérések 2.14 GHz adófrekvencián



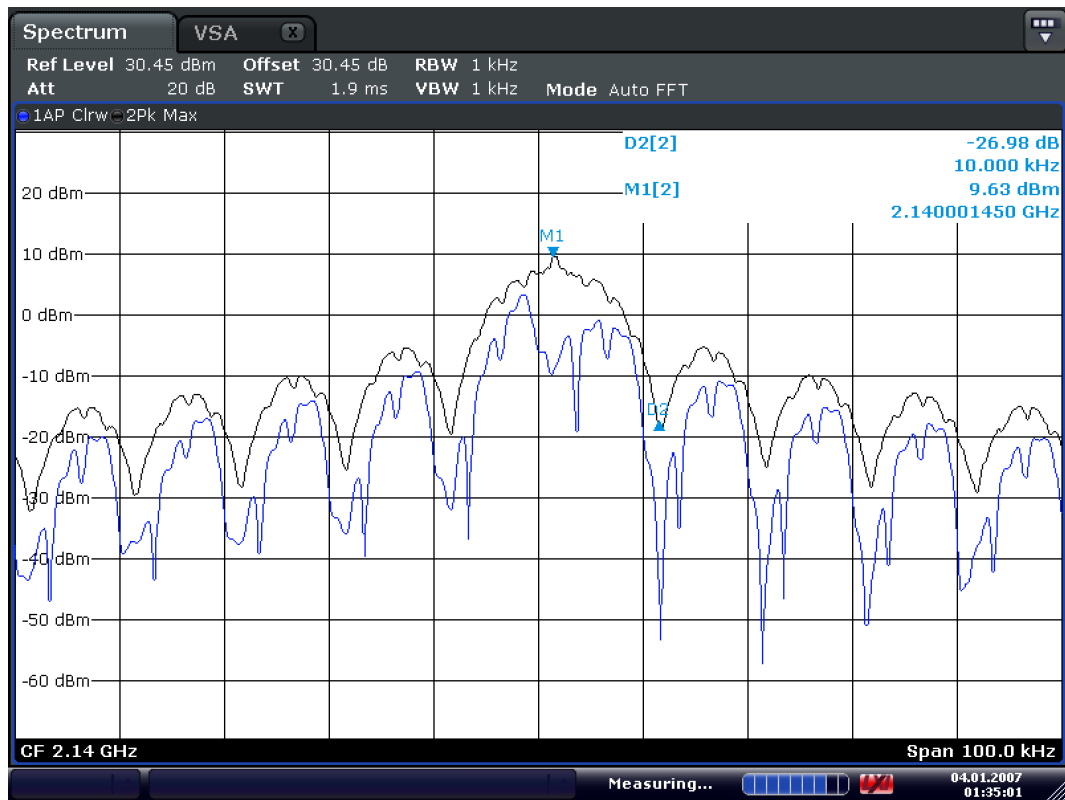
Date: 4.JAN.2007 00:40:12

4.6. ábra. A vivőjel spektruma 2.14 GHz frekvencián, 1MHz span



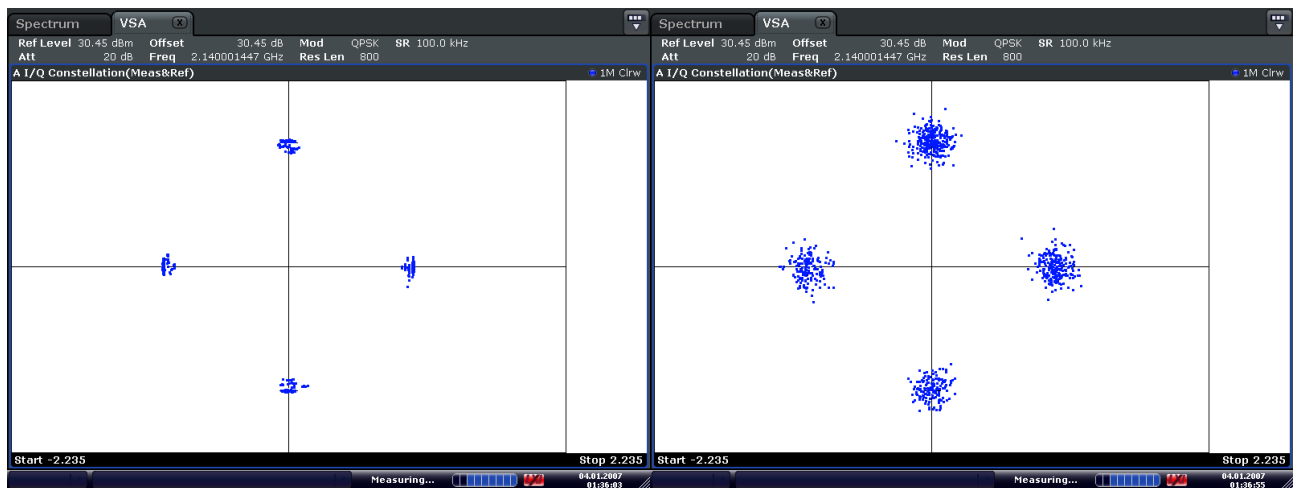
Date: 4.JAN.2007 00:41:08

4.7. ábra. A vivőjel spektruma 2.14 GHz frekvencián, 25kHz span



Date: 4.JAN.2007 01:35:02

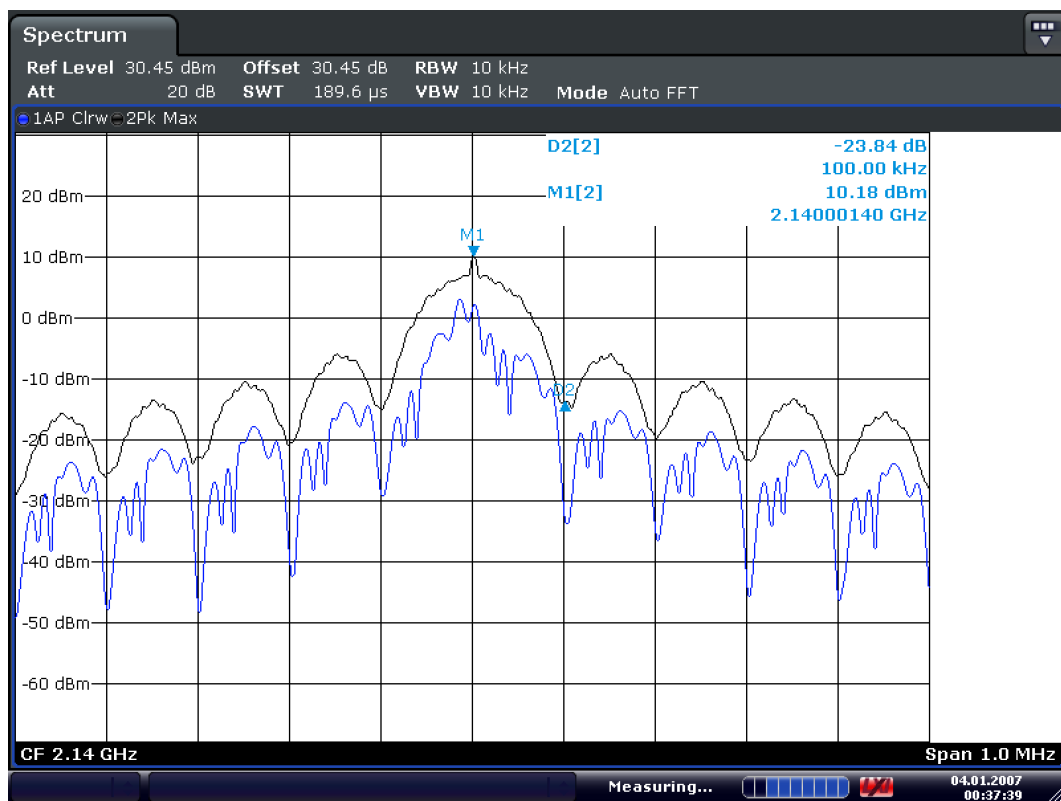
4.8. ábra. A modulált jel spektruma 2.14 GHz frekvencián, 10kS/s, 100 kHz span



Date: 4.JAN.2007 01:36:04

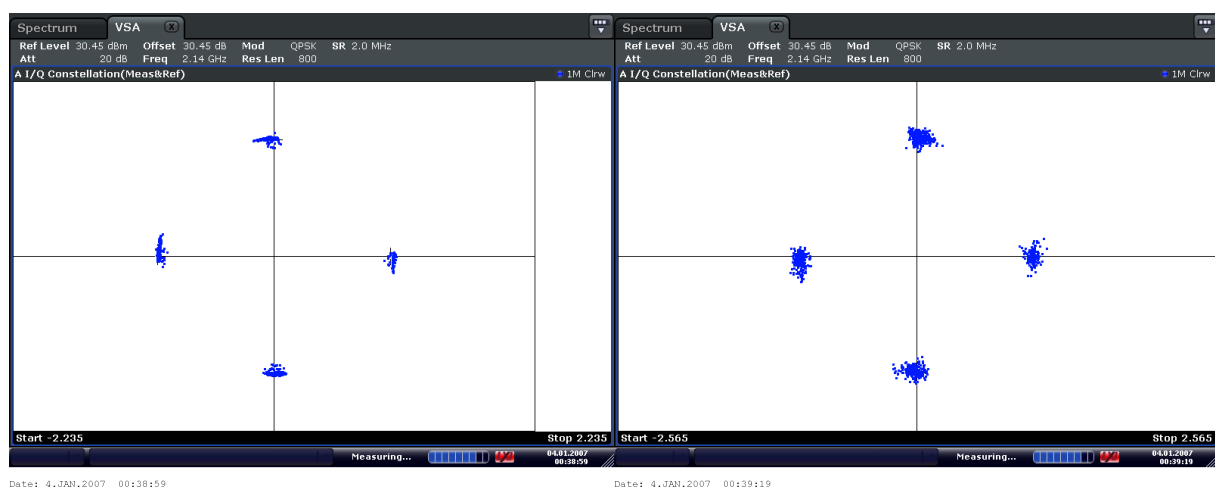
Date: 4.JAN.2007 01:36:55

4.9. ábra. A modulált jel konstellációja additív zaj nélkül és additív gaussi zajjal 2.14 GHz frekvencián, 10kS/s

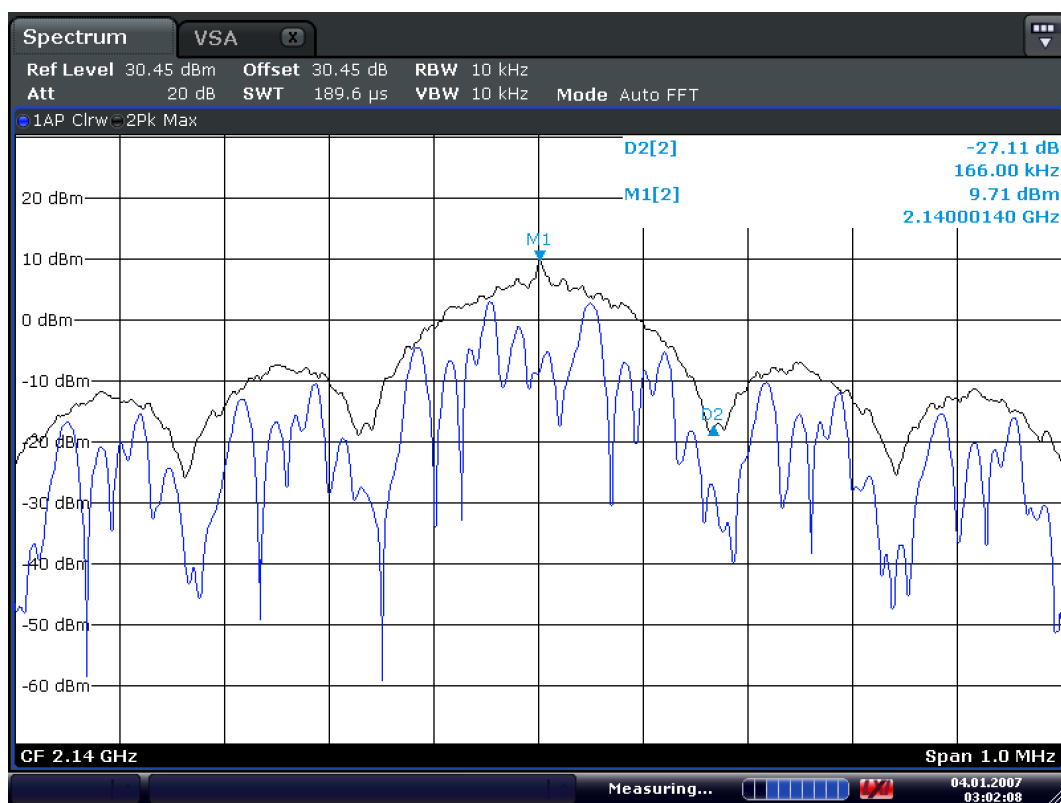


Date: 4.JAN.2007 00:37:40

4.10. ábra. A modulált jel spektruma 2.14 GHz frekvencián, 100kS/s, 1 MHz span

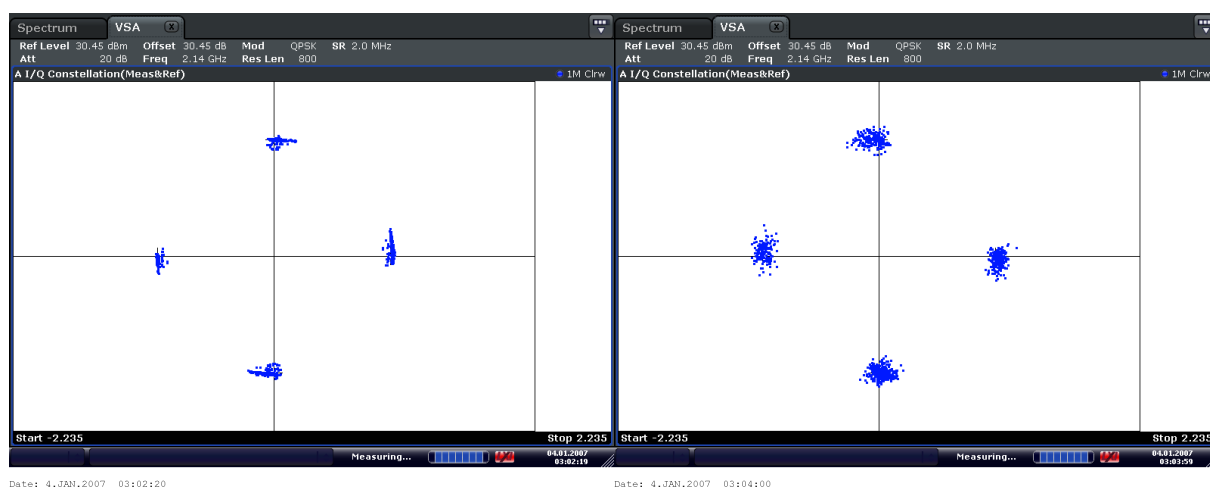


4.11. ábra. A modulált jel konstellációja additív zaj nélkül és additív gaussi zajjal 2.14 GHz frekvencián, 100kS/s



Date: 4.JAN.2007 03:02:08

4.12. ábra. A modulált jel spektruma 2.14 GHz frekvencián, 166kS/s, 1 MHz span

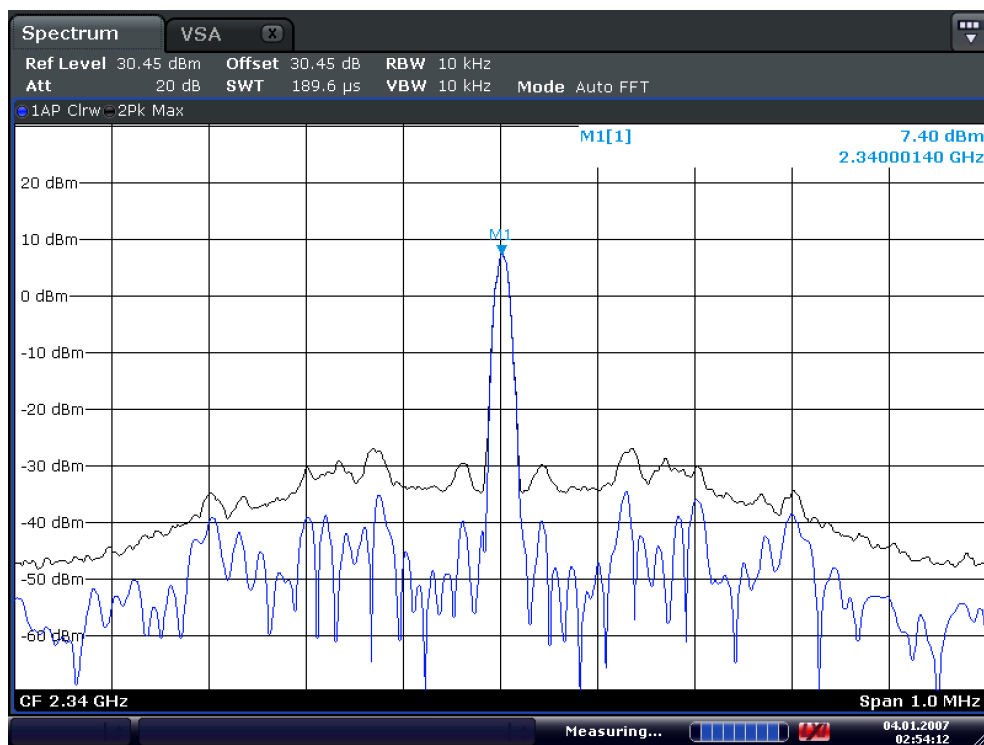


Date: 4.JAN.2007 03:02:19

Date: 4.JAN.2007 03:04:00

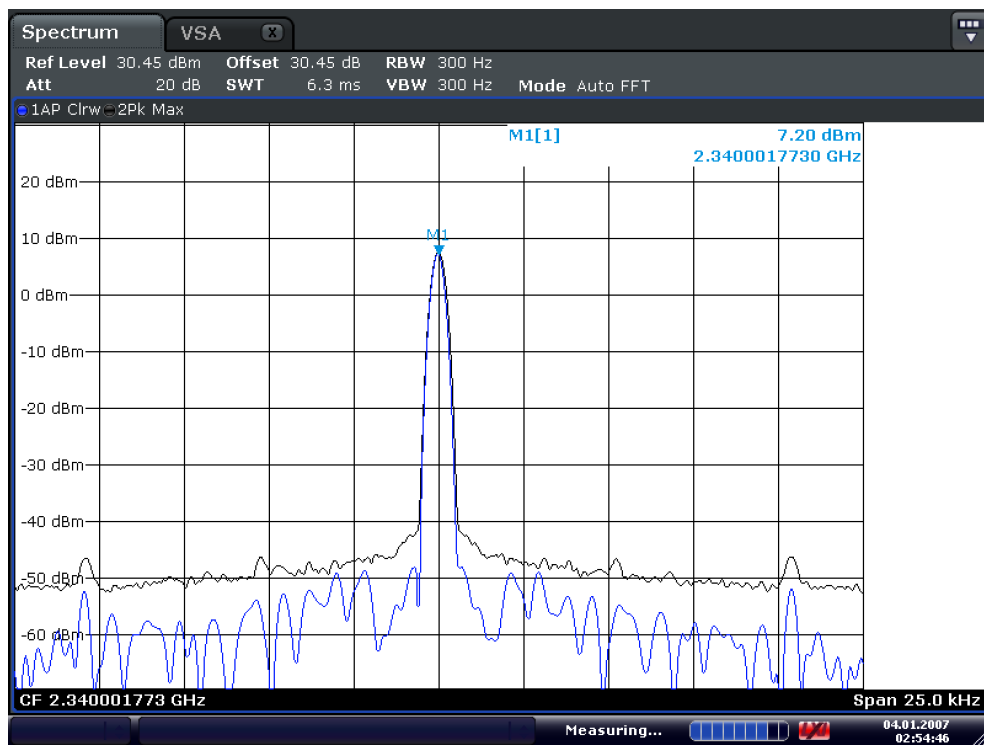
4.13. ábra. A modulált jel konstellációja additív zaj nélkül és additív gaussi zajjal 2.14 GHz frekvencián, 166kS/s

4.2.2. Mérések 2.34 GHz adófrekvencián



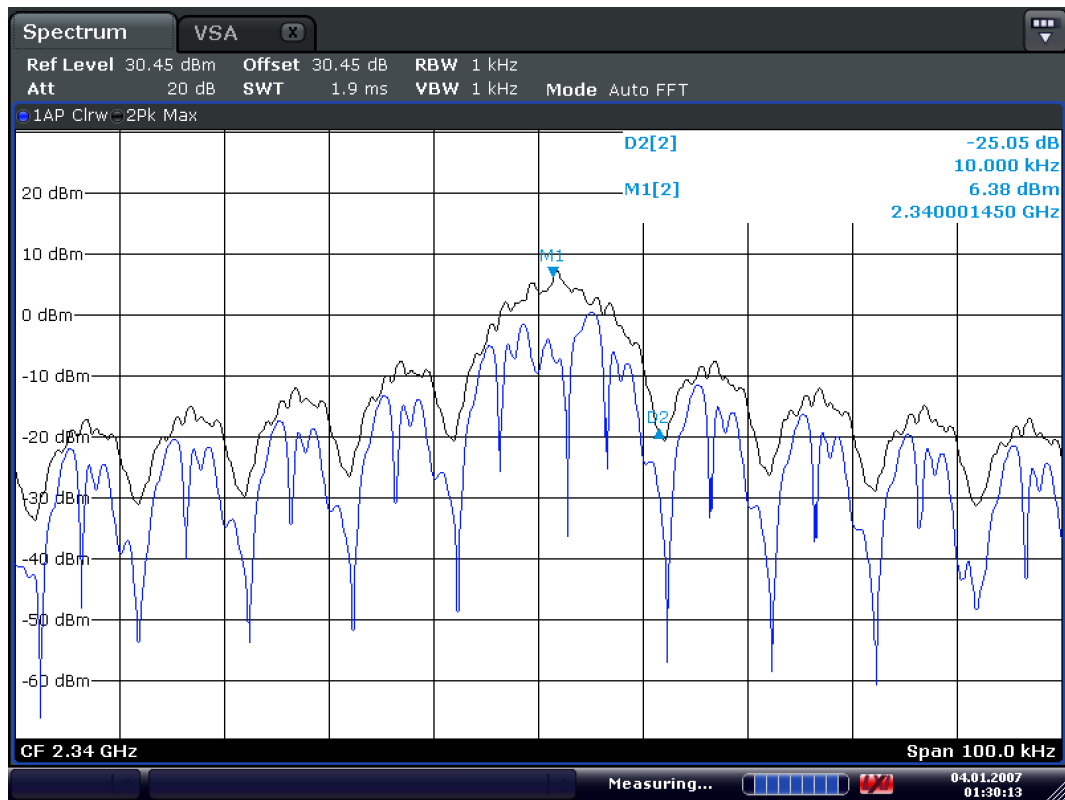
Date: 4.JAN.2007 02:54:13

4.14. ábra. A vivőjel spektruma 2.34 GHz frekvencián, 1MHz span



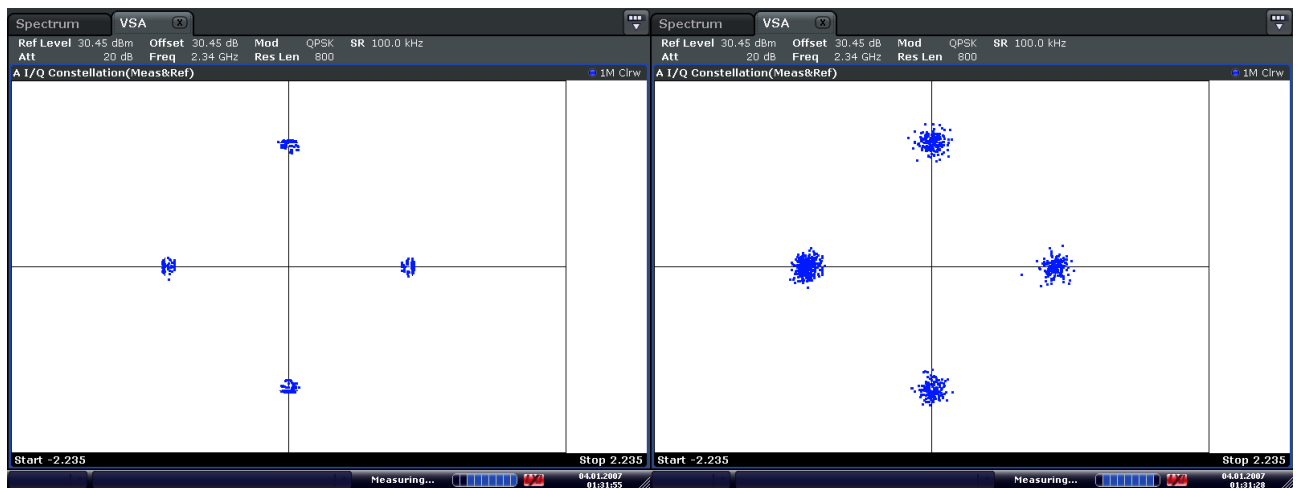
Date: 4.JAN.2007 02:54:47

4.15. ábra. A vivőjel spektruma 2.34 GHz frekvencián, 25kHz span



Date: 4.JAN.2007 01:30:14

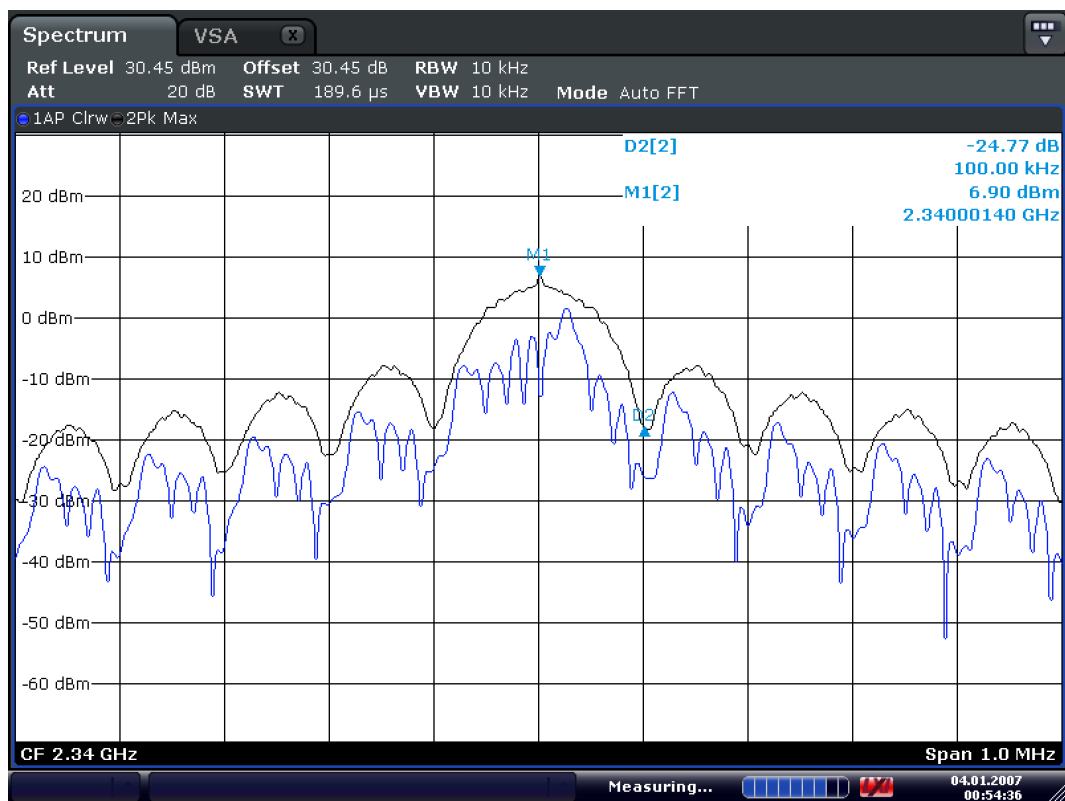
4.16. ábra. A modulált jel spektruma 2.34 GHz frekvencián, 10kS/s, 100 kHz span



Date: 4.JAN.2007 01:31:55

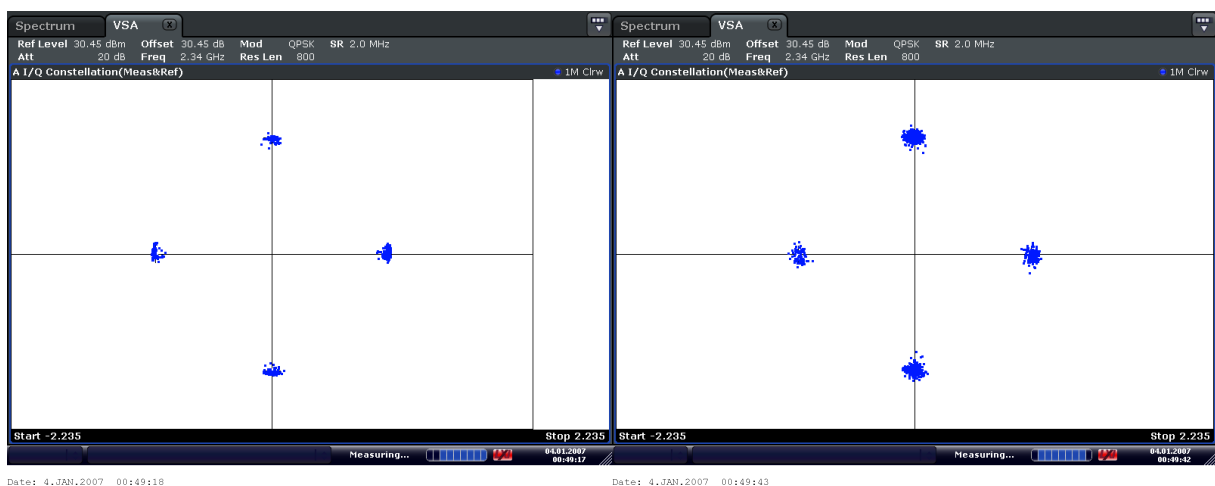
Date: 4.JAN.2007 01:31:28

4.17. ábra. A modulált jel konstellációja additív zaj nélkül és additív gaussi zajjal 2.34 GHz frekvencián, 10kS/s

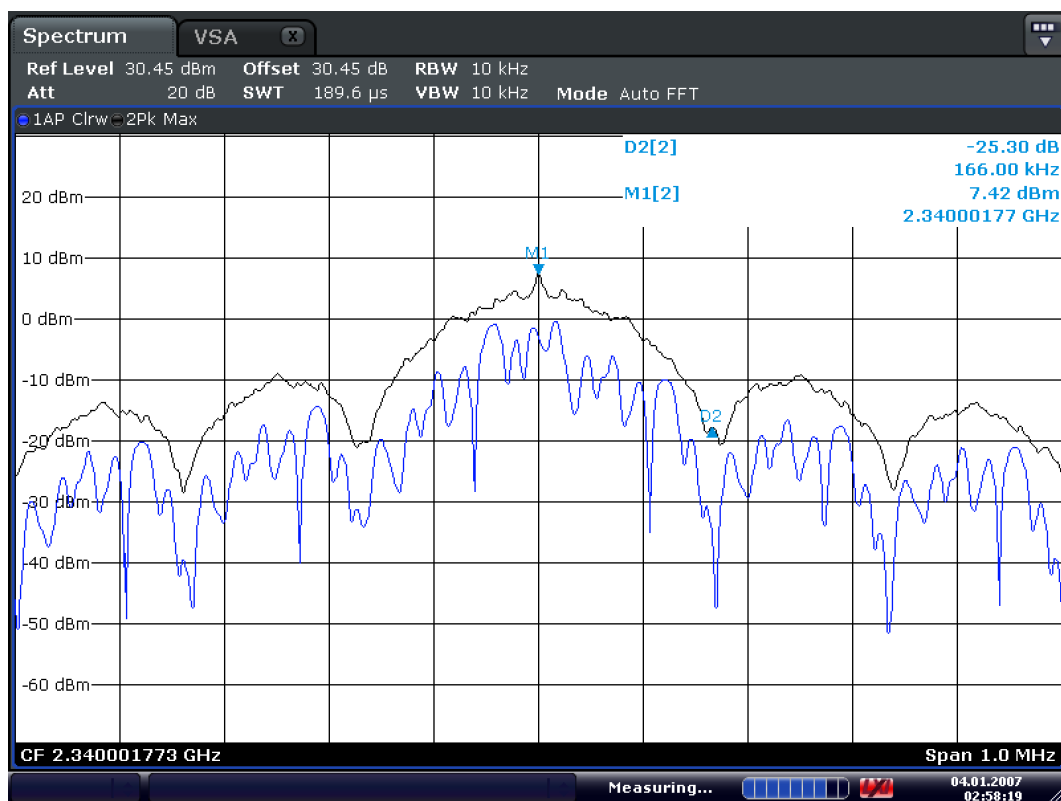


Date: 4.JAN.2007 00:54:36

4.18. ábra. A modulált jel spektruma 2.34 GHz frekvencián, 100kS/s, 1 MHz span

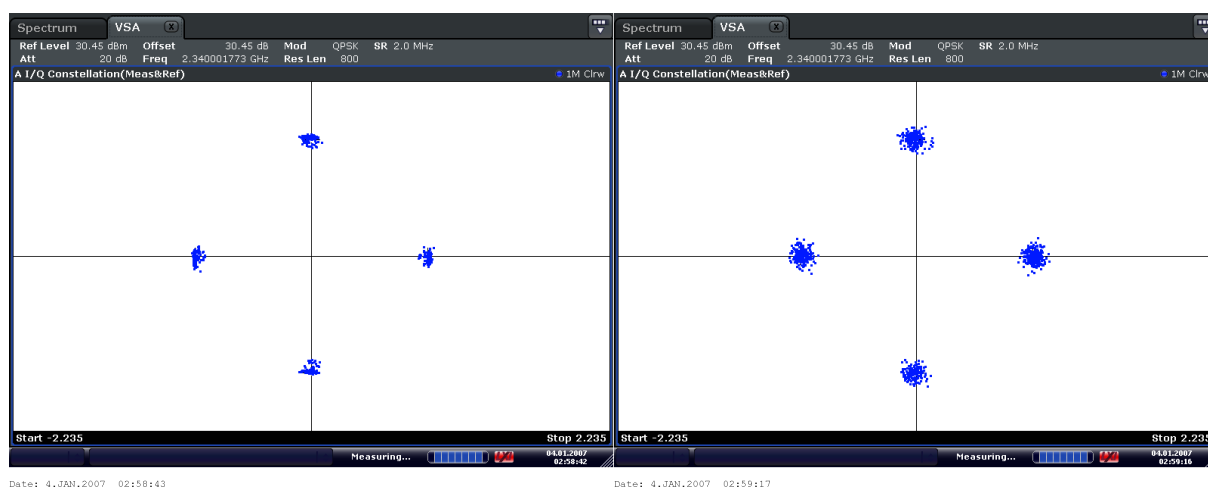


4.19. ábra. A modulált jel konstellációja additív zaj nélkül és additív gaussi zajjal 2.34 GHz frekvencián, 100kS/s



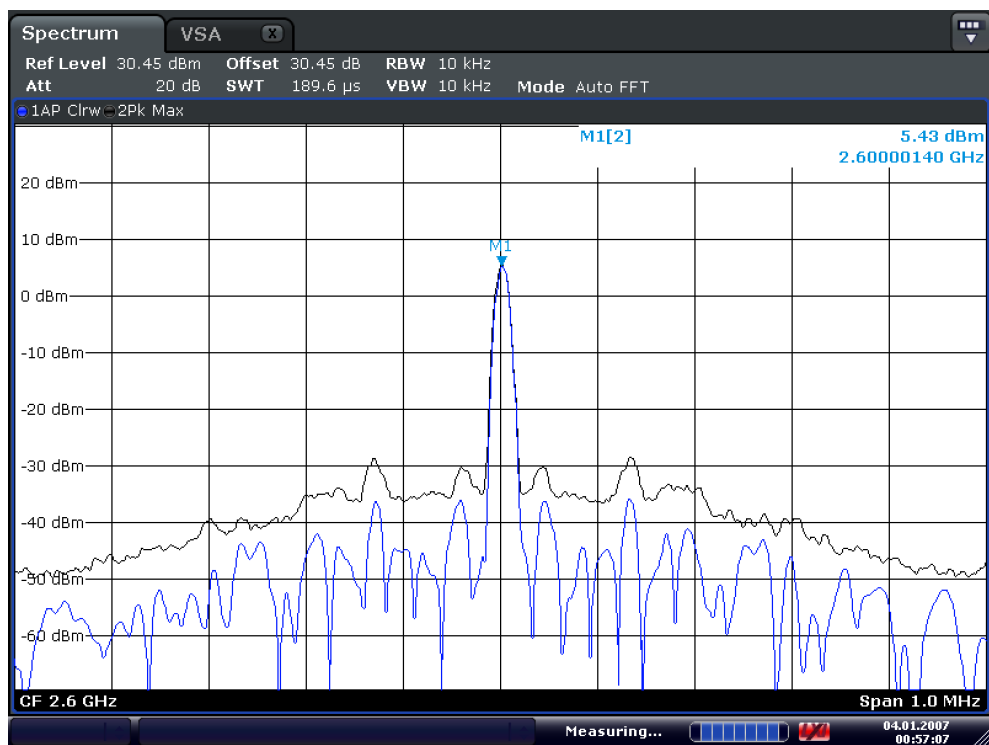
Date: 4.JAN.2007 02:58:19

4.20. ábra. A modulált jel spektruma 2.34 GHz frekvencián, 166kS/s, 1 MHz span



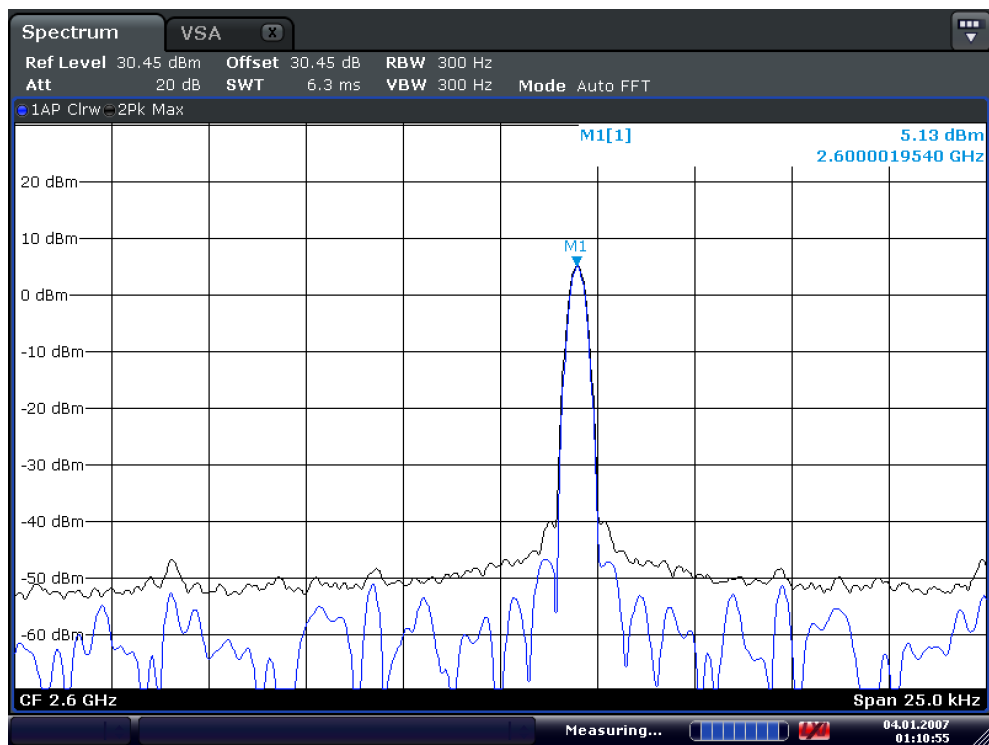
4.21. ábra. A modulált jel konstellációja additív zaj nélkül és additív gaussi zajjal 2.34 GHz frekvencián, 166kS/s

4.2.3. Mérések 2.6 GHz adófrekvencián



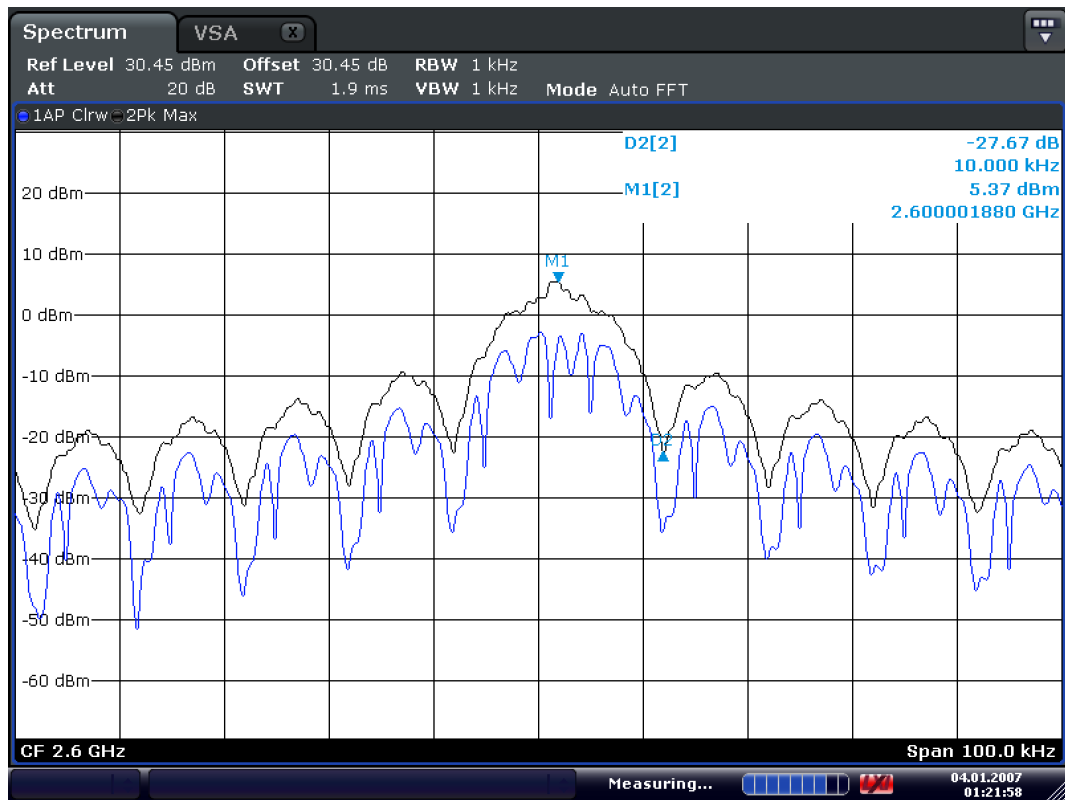
Date: 4.JAN.2007 00:57:08

4.22. ábra. A vivőjel spektruma 2.6 GHz frekvencián, 1MHz span



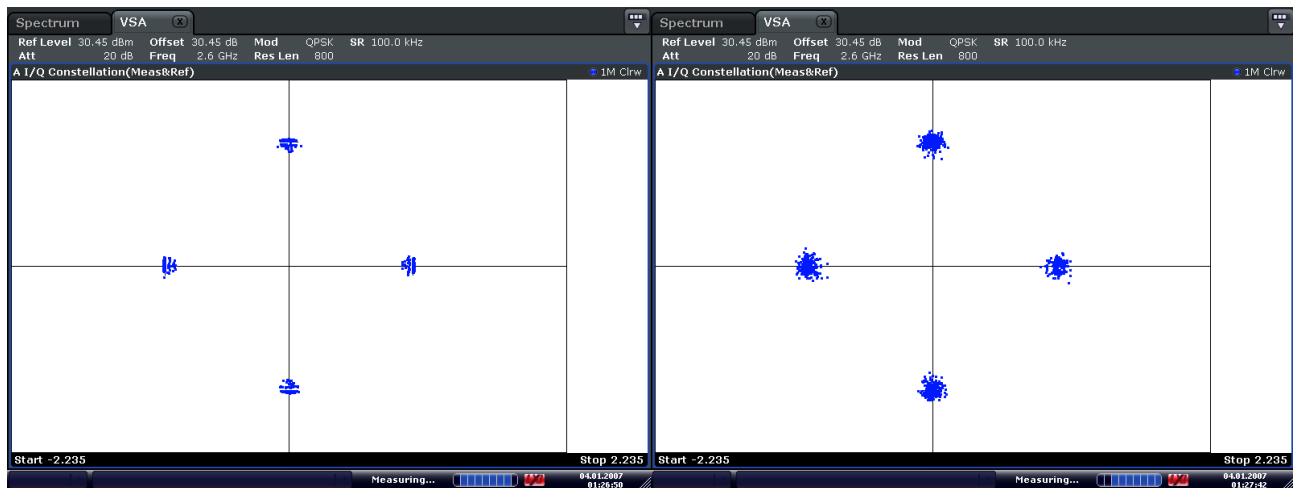
Date: 4.JAN.2007 01:10:56

4.23. ábra. A vivőjel spektruma 2.6 GHz frekvencián, 25kHz span



Date: 4.JAN.2007 01:21:59

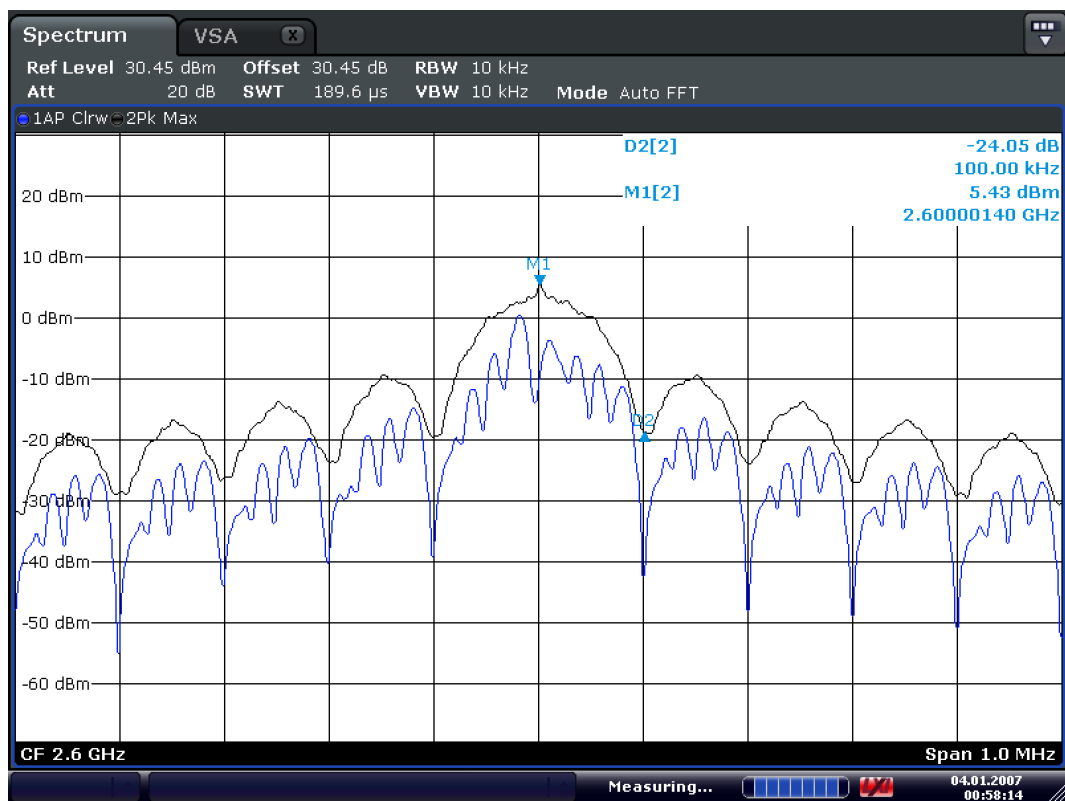
4.24. ábra. A modulált jel spektruma 2.6 GHz frekvencián, 10kS/s, 100 kHz span



Date: 4.JAN.2007 01:26:51

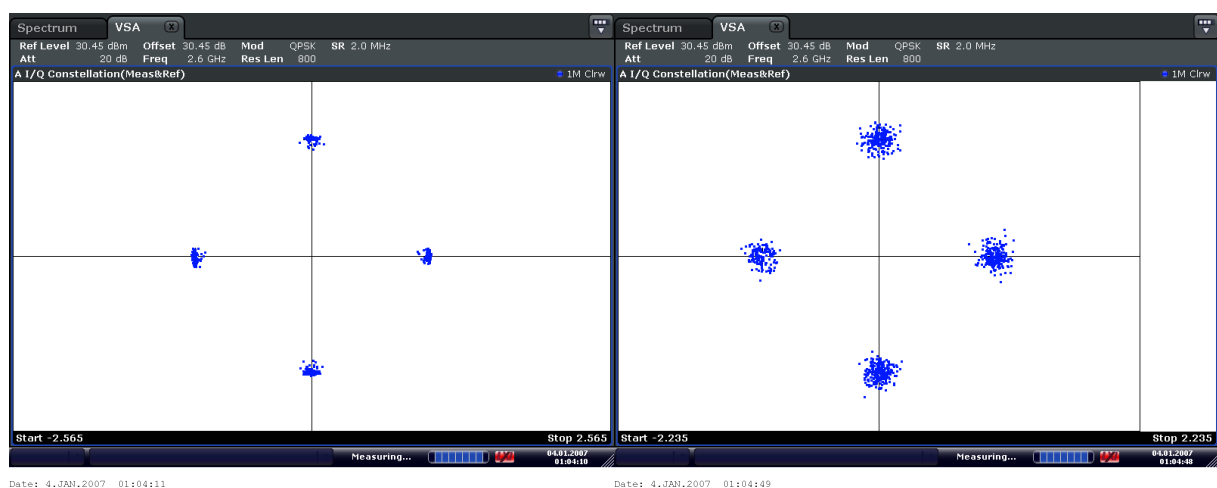
Date: 4.JAN.2007 01:27:42

4.25. ábra. A modulált jel konstellációja additív zaj nélkül és additív gaussi zajjal 2.6 GHz frekvencián, 10kS/s

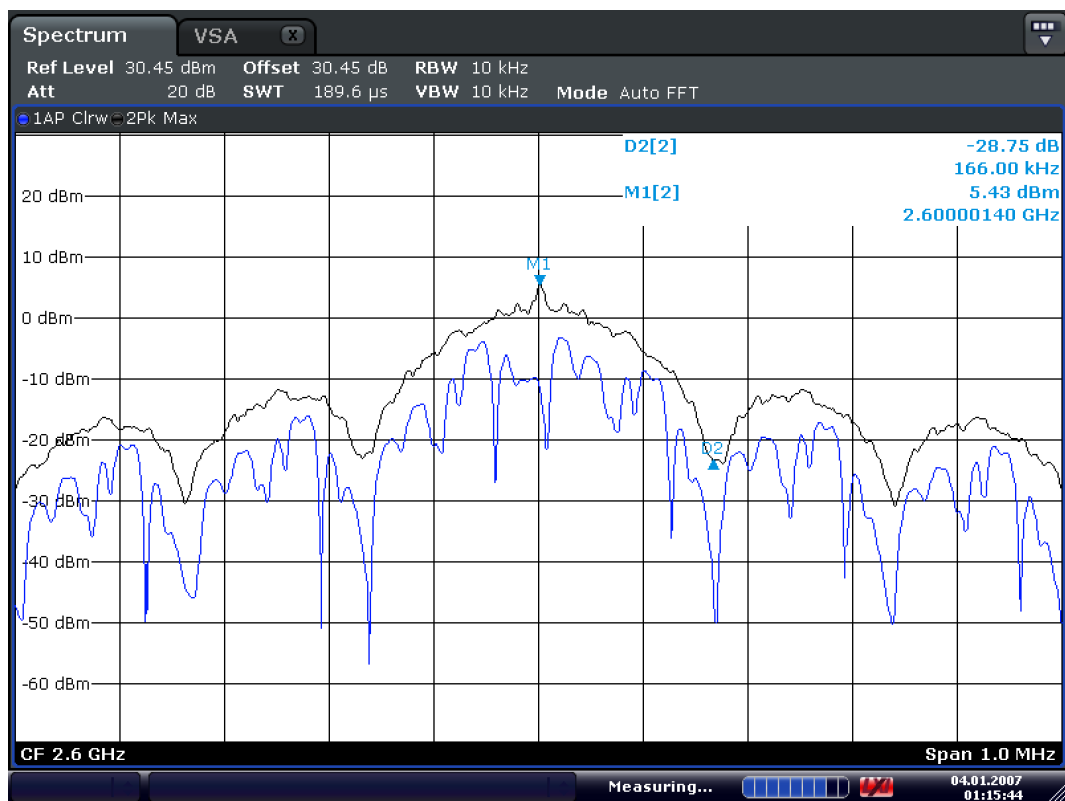


Date: 4.JAN.2007 00:58:14

4.26. ábra. A modulált jel spektruma 2.6 GHz frekvencián, 100kS/s, 1 MHz span

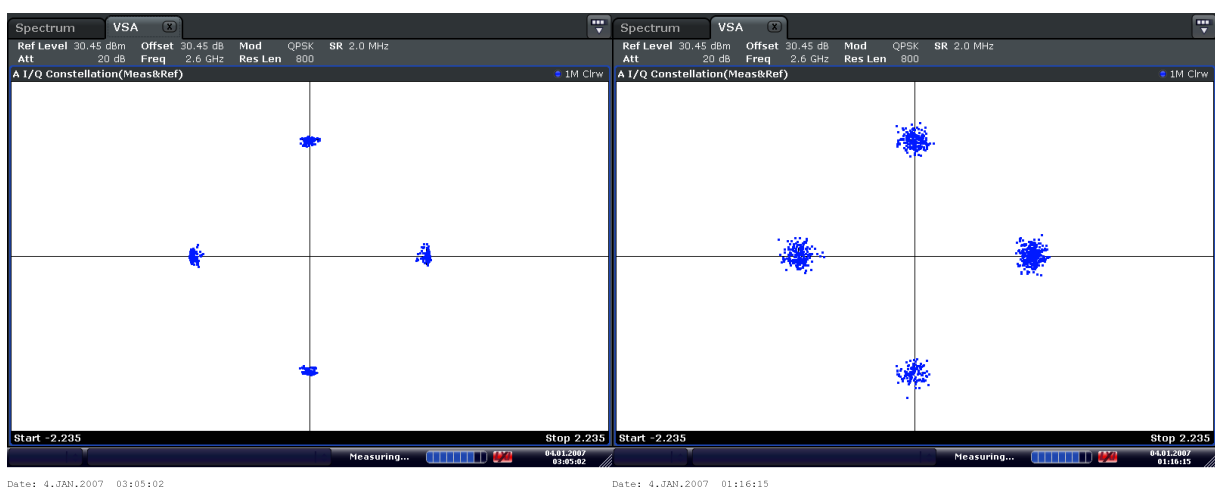


4.27. ábra. A modulált jel konstellációja additív zaj nélkül és additív gaussi zajjal 2.6 GHz frekvencián, 100kS/s



Date: 4.JAN.2007 01:15:45

4.28. ábra. A modulált jel spektruma 2.6 GHz frekvencián, 166kS/s, 1 MHz span



4.29. ábra. A modulált jel konstellációja additív zaj nélkül és additív gaussi zajjal 2.6 GHz frekvencián, 166kS/s

4.3. Mérési eredmények kiértékelése

A vivőjelek minden mért frekvencián megfelelőek, a modulált jelek spektruma minden sebességnél az elvárt

$$\sin(x)/x$$

formát hozza, első leszívási pont a moduláló jel frekvenciájánál. A vivőfrekvenciák értékei sosem pont a beállított értékekre estek, viszont ez betudható a referencia oszcillátor hibahatárának.

A jel teljesítmény mindenhol meghaladja az adatlapban specifikált 4-5 dBm értéket. Ennek az oka hogy a VCO amplitúdót állító regiszter a legnagyobb értéken volt, a moduláló jel amplitúdója szintén az ajánlott értékek felső határán helyezkedett el. Ez meglátszik a fogyasztásban is: az adó áramfelvétele 250-270 mA között mozgott, általában 265 mA (a mérési ábrán is pont 264 mA látszik 4.4) értéket vett fel. Ebből levonva a mikrovezérlő 8 mA fogyasztását 257 mA jön ki, mely 17 mA-rel több mint az adatlapi átlagérték. Ez az átlagérték viszont 4 dBm teljesítményre 25 C°-on lett kimérve tehát még a státusz LEDek fogyasztását és az IC melegedését elhanyagolva is megfelelő érték a 257 mA-es fogyasztás.

A konstellációs diagramokból viszont látszik, hogy a szimbólumok "el vannak kenődve", tehát fáziszajos a modulált jel, a relatíve nagy jelteljesítmény ellenére is. Erre a problémára a jövőben muszáj megoldást találni.

5. fejezet

Összegzés

E dokumentumban leírt feladatok végrehajtásánál tapasztalatot szereztem nagyfrekvenciás kapcsolások és áramköri lemezek tervezésében, megvalósításában és ezek kiméréséhez használt eszközök használatában. Megismertem a PIC mikrovezérlő családot és tapasztalatot szereztem programozásukban.

Elmélyedtem a digitális modulációk elméletében, ezek után megismerkedtem a GNU-Radio környezettel és használtam többféle szoftverrádiót is.

A szimuláció írás közben elmélyítettem a C és Python tudásom, megismertem a Shell script nyelvet és rengeteg tapasztalatot szereztem a Linux operációs rendszerrel kapcsolatban.

Ez a feladat viszont még messze nem ért véget. A mostani prototípus hibáinak kijavítása, egy mérnöki majd egy repülő példány megalkotása még hátravan. Az utóbbi két feladatot már, ha minden jól megy, mesterszakon fogom elvégezni.

Köszönetnyilvánítás

Köszönet Dudás Levinek a rengeteg segítségért és rá szánt időért, még így a járvány idején is.

Irodalomjegyzék

- [1] <http://hvt.bme.hu>
- [2] https://www.unilim.fr/pages_perso/vahid/notes/ber_awgn.pdf
- [3] Roland Best - Costas Loops Theory, Design, and Simulation
- [4] <https://www.analog.com/media/en/technical-documentation/data-sheets/ADRF6703.pdf>
- [5] <http://ww1.microchip.com/downloads/en/DeviceDoc/60001324b.pdf>
- [6] <https://www.analog.com/media/en/technical-documentation/data-sheets/ADL5606.pdf>
- [7] <http://www.ti.com/lit/ds/symlink/tps62177.pdf>
- [8] Miklós Barnabás: QPSK moduláció szimulálása és mérése(témalabor beszámoló,2019)
- [9] Miklós Barnabás: QPSK adó tervezése(önálló laboratórium beszámoló, 2020)

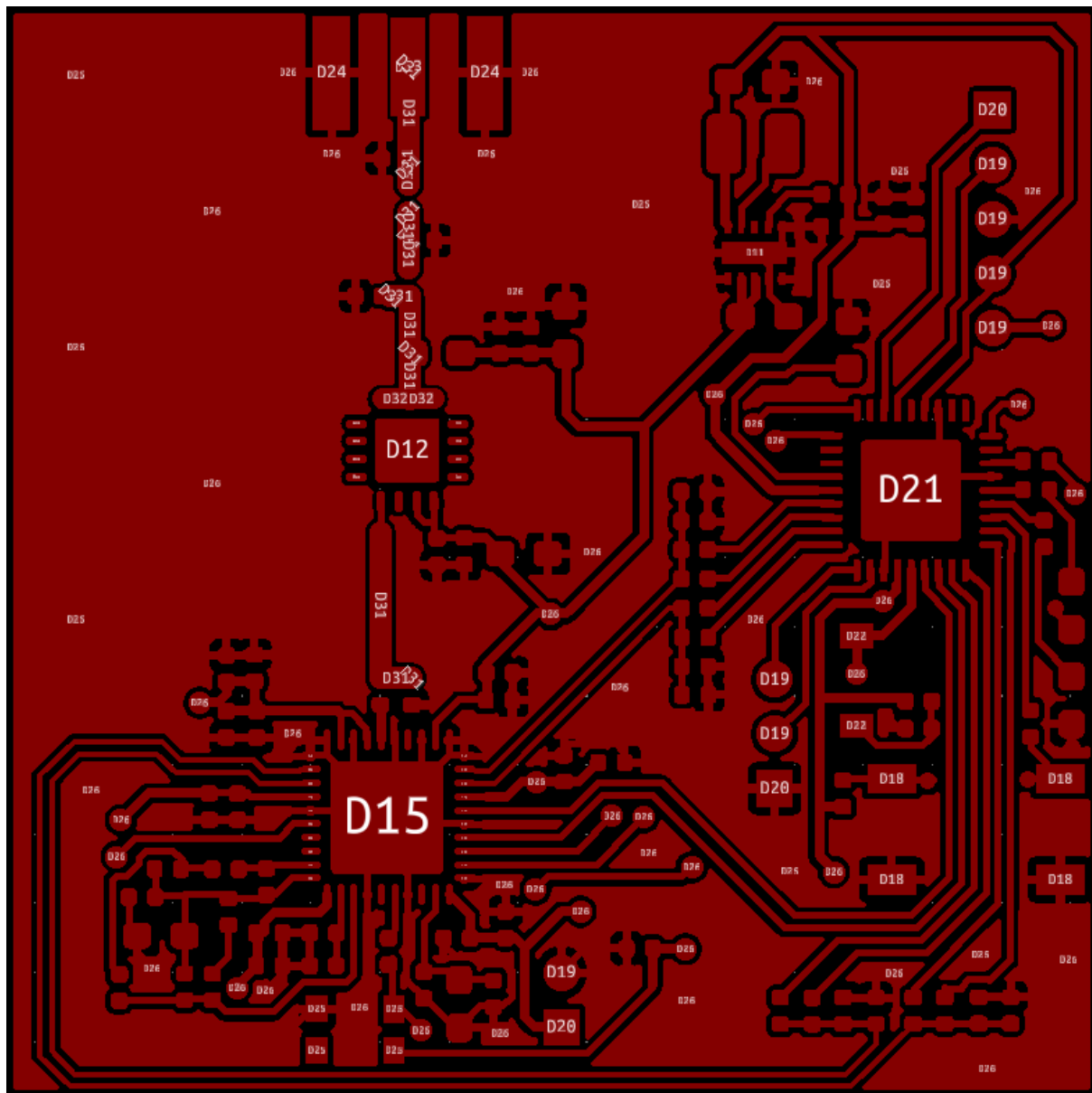
Ábrák jegyzéke

2.1. QPSK konstelláció(elforgatott verzió $\pi/4$ -el)	10
2.2. QPSK spektrum $f_m = 433.9 MHz$ és $T_s = 5\mu s$ (Center=433.9 MHz, Span=800kHz)	11
2.3. AGWN demoduláció	13
2.4. Frekvenciahibás(5 kHz) demoduláció	14
2.5. A Costas-hurok	15
2.6. Fázisdetektor jele(1 kHz vevő ofszt)	16
2.7. Fázisdetektor jele(5 kHz vevő ofszt)	16
2.8. A .wav fájl float értékeinek 8-bitre bontását végző kodek része a programnak	17
2.9. A csomagokra bontást a Tagged stream blokk és a Protocol Formatter végzi	17
2.10. A modulátor blokk, melyen be lehet állítani az négyzetgyök-emelt-koszinusz impulzus formálás lekerekítési paraméterét	18
2.11. Az USRP Sink blokk, beállítva 2.2GHz-re, mely az összes USRP szoftver-rádiót támogatja	18
2.12. Az USRP Source blokk, beállítva 2.2 GHz-re és kimeneti jelének konstellációja	19
2.13. Polyphase Clock Sync blokk, mely a jó mintavételezési időzítés visszaállítására szolgál, és kimeneti jelének konstellációja	19
2.14. A képen a CMA Equalizer blokk(és kimeneti jelének konstellációja) látható, átlagoló ablak segítségével az összes szimbólumot az egységkörre rakja	20
2.15. A Costas-hurkot megvalósító blokk és kimeneti jelének konstellációja	20
2.16. A Costas-hurkot megvalósító blokk és kimeneti jelének konstellációja	20
2.17. A Correlate Access Code blokk a fejlécben megadott bitsort keresi, ha megtalálja akkor tovább engedi a stream-et és leszedi a fejlécet	21
2.18. Az itt látható blokkok azt csinálják mint az adó oldalon lévő audio feldolgozó blokkok csak fordított sorrendben	21
2.19. Az adó oldali SDR kimeneti jelének spektruma egy Rhode & Schwarz FSH3 hordozható spektrum analízátoron	22
2.20. Az adó és vevő B200 Mini összekapcsolva a megfelelő csatlakozóikon keresztül	22
2.21. Az adó teljes folyamábrája	23
2.22. Az vevő teljes folyamábrája	23

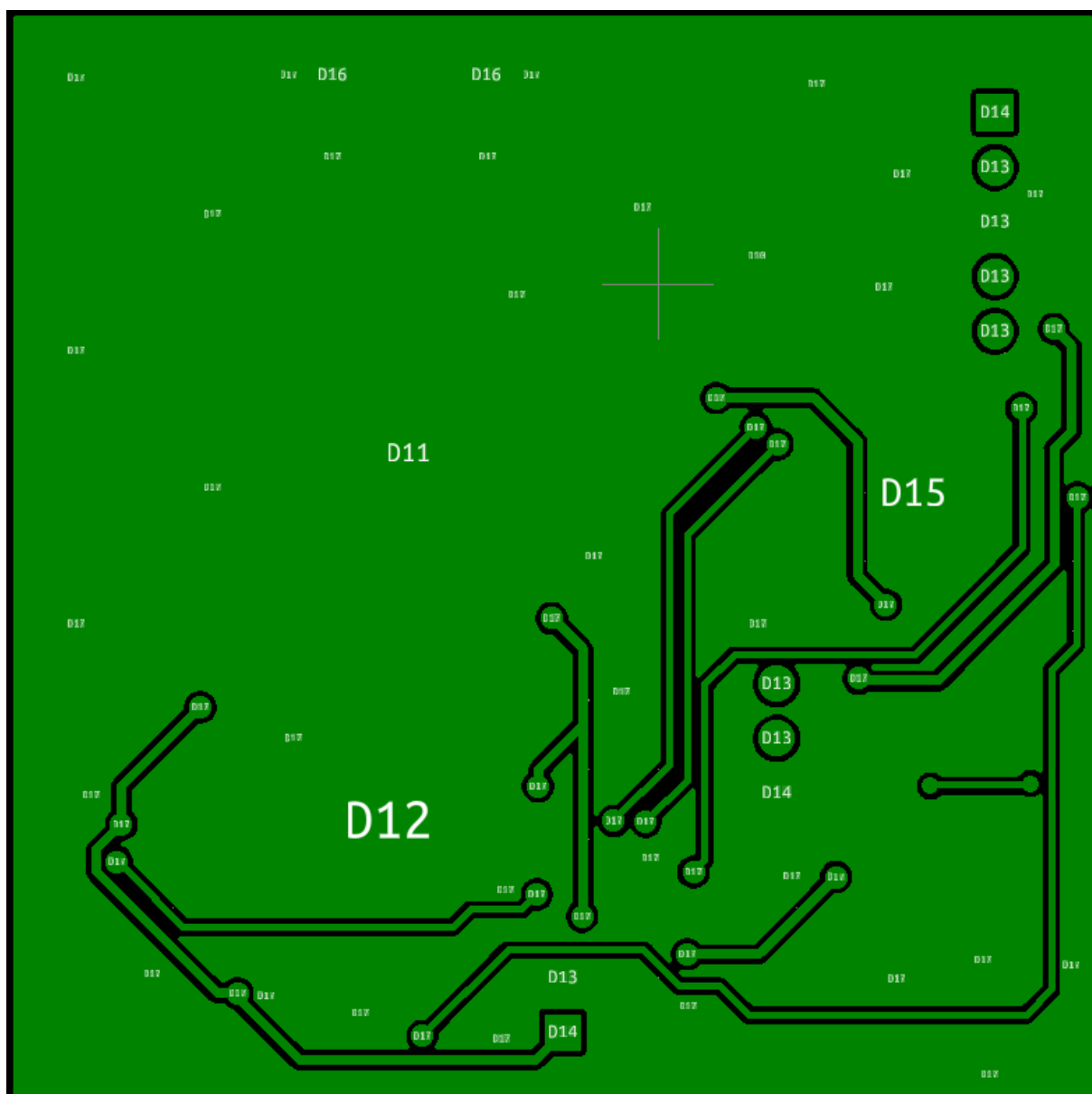
2.23. Pillanatkép a szimuláció működése közben	23
3.1. ADRF6703	25
3.2. A 130kHz hurokszűrő	26
3.3. A feszültségbeállító hálózat	27
3.4. A feszültségbeállító hálózat LTSpice-ban	27
3.5. Az RF erősítő bekötése	28
3.6. A mikrovezérlő bekötése	28
3.7. TPS62177DQC DC-DC konverter bekötése	29
3.8. A teljes IQ adó kapcsolási rajz	30
3.9. Az előbb tárgyalt kapcsolat nyomtatott huzalozású lemezen megvalósításának terve, részletes ábrák: 5.1, 5.2, 5.3	31
4.1. Az áramkör megvalósítása nyomtatott huzalozású lemezen	32
4.2. A szintézer ellenőrzése a chip kimenetére forrasztott méretezett vezetékkel antennaként	33
4.3. A mérési összeállítás blokkvázlata	34
4.4. A mérési összeállítás	35
4.5. Az áramkör felkészítve a mérésre	35
4.6. A vivőjel spektruma 2.14 GHz frekvencián, 1MHz span	36
4.7. A vivőjel spektruma 2.14 GHz frekvencián, 25kHz span	36
4.8. A modulált jel spektruma 2.14 GHz frekvencián, 10kS/s, 100 kHz span	37
4.9. A modulált jel konstellációja additív zaj nélkül és additív gaussi zajjal 2.14 GHz frekvencián, 10kS/s	37
4.10. A modulált jel spektruma 2.14 GHz frekvencián, 100kS/s, 1 MHz span	38
4.11. A modulált jel konstellációja additív zaj nélkül és additív gaussi zajjal 2.14 GHz frekvencián, 100kS/s	38
4.12. A modulált jel spektruma 2.14 GHz frekvencián, 166kS/s, 1 MHz span	39
4.13. A modulált jel konstellációja additív zaj nélkül és additív gaussi zajjal 2.14 GHz frekvencián, 166kS/s	39
4.14. A vivőjel spektruma 2.34 GHz frekvencián, 1MHz span	40
4.15. A vivőjel spektruma 2.34 GHz frekvencián, 25kHz span	40
4.16. A modulált jel spektruma 2.34 GHz frekvencián, 10kS/s, 100 kHz span	41
4.17. A modulált jel konstellációja additív zaj nélkül és additív gaussi zajjal 2.34 GHz frekvencián, 10kS/s	41
4.18. A modulált jel spektruma 2.34 GHz frekvencián, 100kS/s, 1 MHz span	42
4.19. A modulált jel konstellációja additív zaj nélkül és additív gaussi zajjal 2.34 GHz frekvencián, 100kS/s	42

4.20. A modulált jel spektruma 2.34 GHz frekvencián, 166kS/s, 1 MHz span . . .	43
4.21. A modulált jel konstellációja additív zaj nélkül és additív gaussi zajjal 2.34 GHz frekvencián, 166kS/s	43
4.22. A vivőjel spektruma 2.6 GHz frekvencián, 1MHz span	44
4.23. A vivőjel spektruma 2.6 GHz frekvencián, 25kHz span	44
4.24. A modulált jel spektruma 2.6 GHz frekvencián, 10kS/s, 100 kHz span . . .	45
4.25. A modulált jel konstellációja additív zaj nélkül és additív gaussi zajjal 2.6 GHz frekvencián, 10kS/s	45
4.26. A modulált jel spektruma 2.6 GHz frekvencián, 100kS/s, 1 MHz span . . .	46
4.27. A modulált jel konstellációja additív zaj nélkül és additív gaussi zajjal 2.6 GHz frekvencián, 100kS/s	46
4.28. A modulált jel spektruma 2.6 GHz frekvencián, 166kS/s, 1 MHz span . . .	47
4.29. A modulált jel konstellációja additív zaj nélkül és additív gaussi zajjal 2.6 GHz frekvencián, 166kS/s	47
5.1. A nyomtatott huzalozású áramköri lemez felső rézrétege	55
5.2. A nyomtatott huzalozású áramköri alsó rézrétege	56
5.3. A nyomtatott huzalozású áramköri lemez ültetési rajza	57

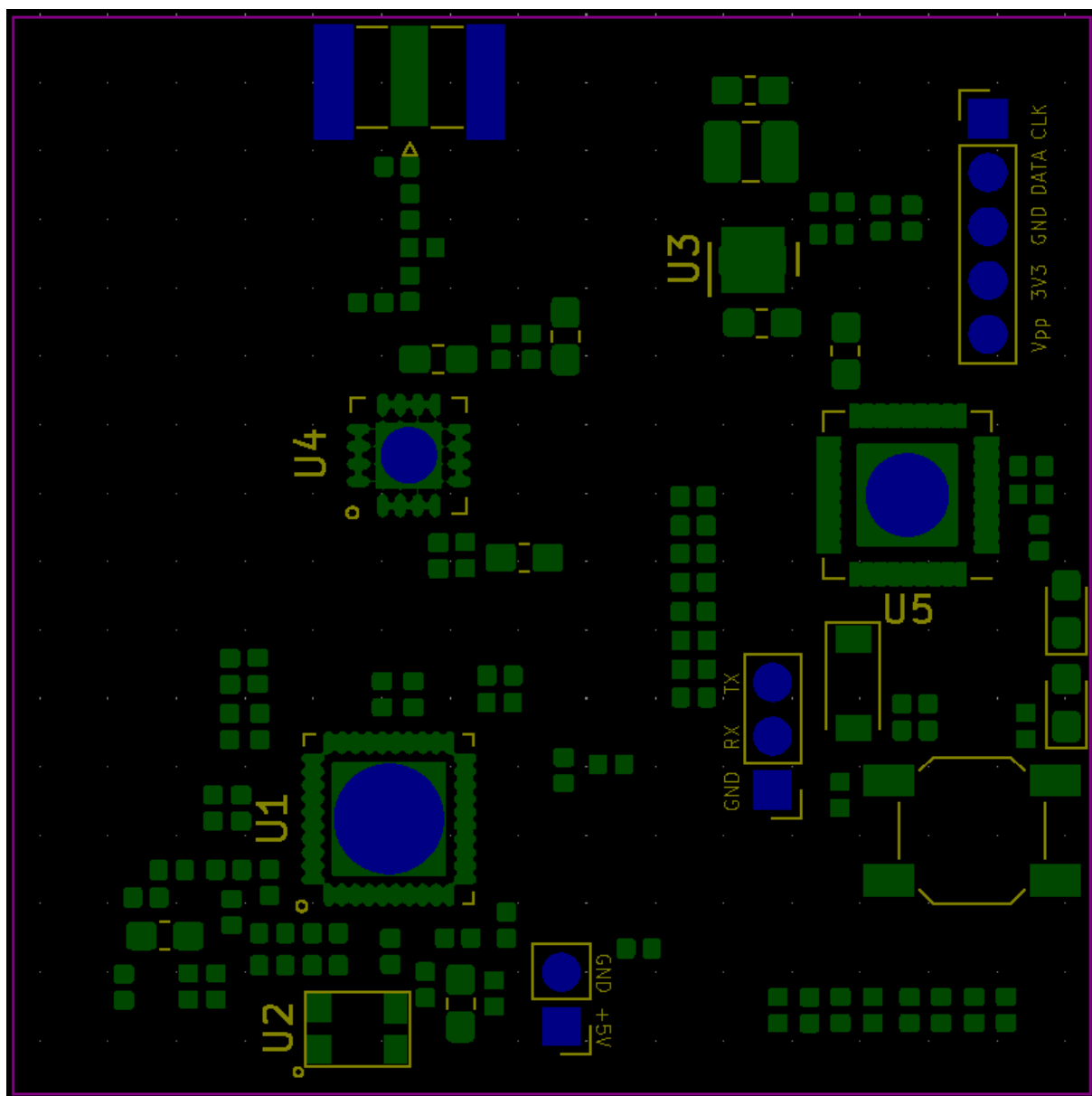
Függelék



5.1. ábra. A nyomtatott huzalozású áramkörti lemez felső rézrétege



5.2. ábra. A nyomtatott huzalozású áramköri alsó rézrétege



5.3. ábra. A nyomtatott huzalozású áramköri lemez ültetési rajza

5.1. Listing. randombytes.c

```
#include <stdio.h>
#include <stdlib.h>
#include <time.h>
#include <stdint.h>

int main(int argc, char **argv)
{
    unsigned long n=128;
    if(argc>1) n=atol(argv[1]);
    unsigned long i;
    int j=0;

    srand(time(NULL));

    for(i=0;i<n;i++){
        uint8_t random=rand()&0xff;

        printf("%c",random);

    }
    return 0;
}
```

5.2. Listing. byte2symbols.c

```
#include <stdio.h>
#include <stdlib.h>
#include <unistd.h>
#include <complex.h>
#include <stdint.h>
#include <math.h>

int main(int argc, char **argv)
{
    uint8_t in[1];
    uint8_t sym_buffer = 0;
    FILE * bytes = fopen("bytes.txt", "w");
    FILE * onesandzeros= fopen("onesandzeros.txt", "w");

    float one_per_sqrt_two=1/sqrt(2);
    int k;
    int i;
    int j = 0;

    complex float out[1];

    while(1){
```

```

k=fread(in,1,1,stdin);
if (feof(stdin)) break;
if (k>0){
    for (i=0;i<4;i++){
        sym_buffer = in[0] & (0b11000000
            >>(2*i));

        sym_buffer = sym_buffer << (2*i)
            ;
        //sym_buffer = 0;
        switch (sym_buffer)
        {
            case 0b00000000:
                out[0] = -
                    one_per_sqrt_two -
                    one_per_sqrt_two*I;
                fprintf(onesandzeros,"00
                    ");
                break;
            case 0b01000000:
                out[0] = -
                    one_per_sqrt_two +
                    one_per_sqrt_two*I;
                fprintf(onesandzeros,"01
                    ");
                break;
            case 0b10000000:
                out[0] =
                    one_per_sqrt_two -
                    one_per_sqrt_two*I;
                fprintf(onesandzeros,"10
                    ");
                break;
            case 0b11000000:
                out[0] =
                    one_per_sqrt_two +
                    one_per_sqrt_two*I;
                fprintf(onesandzeros,"11
                    ");
                break;
            default:
                out[0] = 404;
        }

        fwrite(out,sizeof(
            complex float),1,
            stdout);
    }
}

```

```

        }
    }
    else{
        usleep(100);
    }
}
return 0;
}

```

5.3. Listing. agwn.c

```

#include <stdio.h>
#include <stdlib.h>
#include <unistd.h>
#include <complex.h>
#include <stdint.h>
#include <math.h>
#include <time.h>

double rnd() { return rand()/(1.0+RAND_MAX); }

complex double gwn()
{
    double x,y,a,rr;
    do{
        x=rnd()*2-1;
        y=rnd()*2-1;
        rr=x*x+y*y;
    } while(rr >= 1.0 || rr == 0.0);
    a=sqrt(-log(rr)/rr);
    return a*x+a*y*I;
}

int main(int argc, char **argv){

    double sigma;
    double SNR = 10;
    if(argc>1) SNR = atof(argv[1]);
    sigma = pow(10.0,(-SNR)/20);

    complex float in[1];
    int k;

```

```

int i=0;

complex float out[1];
while(1){
    k=fread(in, sizeof(complex float), 1, stdin);
    if(feof(stdin)) break;
    if(k>0){
        complex double noise= gwn();
        out[0]=in[0] + 1/sqrt(2)*noise*
            sigma;
        i++;
        fwrite(out, sizeof(complex float), 1, stdout);
    }
    else{
        usleep(100);
    }
}

return 0;
}

```

5.4. Listing. increment.c

```

#include <stdio.h>
#include <stdlib.h>
#include <unistd.h>
#include <complex.h>
#include <stdint.h>
#include <math.h>
#include <time.h>

int main(int argc, char **argv)
{

    uint32_t multiplier = 10;

    if(argc>1) multiplier = atol(argv[1]);

    FILE * tmpfile = fopen( "incremented.txt", "w");

    int k;
    float i=0;
    complex float out[1];
    complex float in[1];
    complex float integrator1=0;
    complex float derivator1_out=0;
    complex float derivator1=0;
    unsigned long int samples_out=0;
    int j=10;
    while(1){
        k=fread(in, sizeof(complex float), 1, stdin);
        if(feof(stdin)) break;
        if(k>0){

            derivator1_out=in[0] - derivator1;
            derivator1=in[0];
            j=0;
            integrator1=integrator1 + derivator1_out
                ;

            for(j=0;j<multiplier;j++){
                out[0]=integrator1;

                fwrite(out, sizeof(complex float), 1,
                    stdout);
                fprintf(tmpfile, "%f,%f,%ld\n", creal(out
                    [0])

```



```

        , cimag(out[0]), samples_out++ );
    }

    }
    else{
        usleep(100);
    }
}
fclose(tmpfile);
return 0;
}

```

5.5. Listing. cnco.c

```

#include <stdio.h>
#include <stdlib.h>
#include <unistd.h>
#include <complex.h>
#include <stdint.h>
#include <math.h>
#include <time.h>

int main(int argc, char **argv)
{
    //uint16_t T = 273;
    uint32_t f_sample = 500;
    uint32_t f_mix = 1;

    if(argc>1) f_sample = atol(argv[1]);
    if(argc>2) f_mix = atol(argv[2]);

    FILE * tmpfile = fopen( "cnco.txt", "w"); // txt to plot

    int j=0;
    int k=0;
    long unsigned int samplenum=0;
    long double i=0;

    complex float * phasor = malloc(f_sample*sizeof(complex
        float));
    complex float in[1];
    complex float out[1]={0};

```

```

for ( i=0;i<=2*M_PI; i=i+(2*M_PI/f_sample) ){

    phasor[j]=cexp( i*I );
    j++;

}

j=0;

while(1){
    k=fread( in , sizeof(complex float) ,1 ,stdin );
    if( feof( stdin) ) break;
    if(k>0){
        out[0]= creal(phasor[j])*creal(in[0])
        +cimag(phasor[j])*cimag(in[0])*I;
        j=j+f_mix;
        if(j>=f_sample) j=0;

        fprintf( tmpfile , "%.12f , _%.12f , _%ld\n" ,
            creal(out[0]) , cimag(out[0]) , samplenum++);

        fwrite( out , sizeof(complex float) ,1 ,stdout );

    }
    else{
        usleep(100);
    }
}
fclose( tmpfile );
free( phasor );
return 0;
}

```

5.6. Listing. cnco2.c

```

#include <stdio.h>
#include <stdlib.h>
#include <unistd.h>
#include <complex.h>
#include <stdint.h>
#include <math.h>
#include <time.h>

int main(int argc , char **argv)
{

```

```

uint32_t f_sample = 500;
uint32_t f_mix = 1;

    if(argc>1) f_sample = atol(argv[1]);
    if(argc>2) f_mix = atol(argv[2]);

FILE * tmpfile = fopen( "cnco2.txt", "w"); // txt to plot

    int32_t j=0;
    uint32_t k=0;
    long unsigned int samplenum=0;
    long double i=0;

    complex float * phasor = malloc(f_sample*sizeof(complex
        float));
    complex float in[1]={0};
    complex float out[1]={0};
    //printf("cnco2 started\n");

    //j=f_sample-1;
    for ( i=0;i<=2*M_PI;i=i+(2*M_PI/f_sample)){

        phasor[j]=cexp(i*I);

        j++;

    }

j=0;

    while(1){
        k=fread(in, sizeof(complex float), 1, stdin);
        //printf("in %f, ", creal(in[0]));
        if(feof(stdin)) break;
        if(k>0){
            //printf(" j= %d\n", j);
            out[0]= conj(phasor[j])*in[0];
            j=j+f_mix;
            j=j % f_sample;
            fprintf(tmpfile, "%.12f, _%.12f, _%ld\n", creal(out[0]),
                cimag(out[0]), samplenum++);
            fwrite(out, sizeof(complex float), 1, stdout);

        }
    }

```

```

        else{
            usleep(100);
        }
    }
    fclose(tmpfile);
    free(phasor);
    return 0;
}

```

5.7. Listing. decrementbinary.c

```

#include <stdio.h>
#include <stdlib.h>
#include <unistd.h>
#include <complex.h>
#include <stdint.h>
#include <math.h>
#include <time.h>
#include <string.h>

int main(int argc, char **argv)
{
    uint32_t multiplier = 10;

    char file_name[64]="decremented.bin";

    if(argc>1) multiplier = atol(argv[1]);
    if(argc>2) strcpy(file_name,argv[2]);

    //printf("filename : %s\n\n",file_name);
    FILE * tmpfile = fopen( file_name, "w");

    int k;
    int i=0;
    complex float in[1];
    complex float out[1]={0};
    complex float integrator1=0;
    complex float integrator1_out=0;
    complex float derivator1=0;
    int j=0;

    while(1){
        k=fread(in,sizeof(complex float),1,stdin);
        //printf("in : %f\n",creal(in[0]));
        if(feof(stdin)) break;
        if(k>0){

```

```

        integrator1 = integrator1 + in[0];
        j++;

        if(j==multiplier){

            out[0]=integrator1-derivator1;
            derivator1=integrator1;
            out[0]=out[0]/multiplier;


            fwrite(out,sizeof(complex float),1,
                    tmpfile);
            fwrite(out,sizeof(complex float),1,
                    stdout);

            j=0;
        }

    }
    else{
        usleep(100);
    }
}
fclose(tmpfile);
return 0;
}

```

5.8. Listing. lpf.c

```

#include <stdio.h>
#include <stdlib.h>
#include <unistd.h>
#include <complex.h>
#include <stdint.h>
#include <math.h>
#include <time.h>

#define FILTER_SIZE 20

int main(int argc, char **argv)
{
    fflush(stderr);

    FILE * tmpfile = fopen("lpf_out2.txt", "w");// txt to plot

    long unsigned int samplenum=0;

```

```

uint32_t f_sample = 500;
uint32_t f_cutoff = 1;

if(argc>1) f_sample = atol(argv[1]);
if(argc>2) f_cutoff = atol(argv[2]);

complex float in[1];
    complex float out[1]={0};

    complex double x[2]={0,0};
double alpha=0.5;
int k=0;
x[1]=0;
    while(1){
        k=fread(in,sizeof(complex float),1,stdin);
        if(feof(stdin)) break;
        if(k>0){
            x[0]=in[0];
            out[0]=x[0]+x[1]*(1-alpha);
            x[1]=out[0];
            fprintf(tmpfile, "%.12f, _%ld\n", creal(out[0]),
                samplenum++);

            out[0]=0;

        }
        else{
            usleep(100);
        }
    }
    fflush(stderr);
    fclose(tmpfile);
    return 0;
}

```

5.9. Listing. phasediff.c

```

#include <stdio.h>
#include <stdlib.h>
#include <complex.h>
#include <unistd.h>
#include <math.h>

int main(int argc, char **argv)
{
    complex float in1[1];
    complex float in2[1];
    complex float out[1];
    long unsigned int samplenum=0;

```

```

FILE * output = fopen( "phase_diff.txt", "w");// txt to plot

FILE * f_input_normal = fopen( "decremented.bin", "r");
FILE * f_input_limited= fopen( "decrementedlimited.bin", "r"
);

//printf("\n\n");
while(1){
    int k=fread(in1,sizeof(complex float),1,
        f_input_normal);
    int j=fread(in2,sizeof(complex float),1,
        f_input_limited);
    if( feof(f_input_normal)) break;
    if(k>0){

        out[0]=creal(in1[0])*cimag(in2[0]) - creal(in2[0])*
            cimag(in1[0]);
            fwrite(out,sizeof(complex float),1,
                stdout);
        fprintf(output, "%.12f, _%ld\n", creal(out[0]),
            samplenum++);

    }
    else{
        usleep(10);
    }
}
fflush(stderr);
fclose(output);
return 0;
}

```

5.10. Listing. iqlevels.m

```

Us=3.3
R_Load=945
Un=0.4
Up=0.7

R=optimvar('R',3) % optimalizalasi problemakent vizsem be
eq1=(1-Us)/R(2)+(1-Us)/R(3)+(1-0.1)/R_Load+1/R(1)==0; %
    csomoponti egyenletek
eq2=(0.1-1)/R_Load+0.1/R(2)+0.1/R(3)+ 0.1/R(1)==0;%a vart fesz.
    ertekekkel
eq3=(Up-Un)/R_Load+(Up-Us)/R(3)+Up/R(2)+Up/R(1)==0;
eq4=(Un-Up)/R_Load+(Un-Us)/R(2)+Un/R(3)+Un/R(1) == 0;

prob = eqnproblem;

```

```

prob.Equations.eq1 = eq1;
prob.Equations.eq2 = eq2;
prob.Equations.eq3 = eq3;
prob.Equations.eq4 = eq4;
show(prob)
R0.R=[100 100 100];
[ sol , fval , exitflag ] = solve(prob,R0)
disp(sol.R)

```

5.11. Listing. costas.c

```

#include <stdio.h>
#include <stdlib.h>
#include <complex.h>
#include <unistd.h>
#include <math.h>
#include <stdint.h>

complex float limit(complex float symbol){

    float one_per_sqrt_two = 0.70710678118;
    complex float out = 0;

    if((creal(symbol)<0)&& (cimag(symbol)<=0))    {
        out=-one_per_sqrt_two - one_per_sqrt_two*I;;
        return out;

    }else if ((creal(symbol)<=0) && (cimag(symbol)>0) ){
        out=-one_per_sqrt_two + one_per_sqrt_two*I;
        return out;

    }else if( (creal(symbol)>=0) && (cimag(symbol)>0)){
        out=one_per_sqrt_two + one_per_sqrt_two*I;
        return out;

    }else if( (creal(symbol)>0) && (cimag(symbol)<=0)){
        out=one_per_sqrt_two - one_per_sqrt_two*I;
        return out;
    }

}

int main(int argc , char **argv)
{
    float p_accumulator=0;
    float p_error=0;

    uint32_t f_sample = 1000000;
    long int osc_index=0;

```



```

FILE * LUT = fopen( " ../.. / output / bin / cnco_lut . bin " , " r "
    ); // txt to plot

FILE * PREV_LOOP_DATA = fopen( " ../.. / output / bin /
    prev_loop_data . bin " , " r " );

if (PREV_LOOP_DATA!=NULL) {
    long int buffer[1]={0};
    fprintf(stderr, "succesfull_file_read\n");
    fread(&osc_index, sizeof(long int), 1,
        PREV_LOOP_DATA);
    fread(&p_accumulator, sizeof(float), 1,
        PREV_LOOP_DATA);
    fprintf(stderr, "prev_osc_index: %ld, prev_
        phase_accumulator: %lf\n", osc_index,
        p_accumulator);

} else {
    fprintf(stderr, "cannot_read_file\n");

}

uint32_t k=0;
long double i=0;

if(argc>1) f_sample = atol(argv[1]);

complex float * phasor = malloc(f_sample*sizeof(complex
    float));
complex float in[1];
complex float out[1]={0};
long int temp_index=0;

fflush(stderr);
for (i=0; i<=f_sample; i++){

    fread(in, sizeof(complex float), 1, LUT);
    //printf("%lf\n", creal(in[0]));
    phasor[temp_index]=in[0];
    temp_index++;

}

```

```

//if(argc>2) osc_index = atol(argv[2]);
fprintf(stderr, "————new_set————\n");

//printf("\n\n");

while(1){
    int k=fread(in, sizeof(complex float), 1, stdin);
    if(feof(stdin)) break;
    if(k>0){
        out[0]=in[0]*phasor[osc_index];

        p_error=creal(out[0])*cimag(limit(out[0])) - creal(
            limit(out[0])*cimag(out[0]));
        p_accumulator+=p_error;
        if(p_accumulator<0) p_accumulator+=
            f_sample;
        osc_index =(osc_index+(long)
            p_accumulator)%f_sample;

        //fwrite(out, sizeof(complex float), 1,
            stdout);// forwarding bits
        fprintf(stderr, "%f\n", p_accumulator);
        fwrite(out, sizeof(complex float), 1,
            stdout);

    }
    else{
        usleep(10);
    }
}

fprintf(stderr, "opening_for_writing\n");
FILE * LOOP_DATA = fopen( "../output/bin/
    prev_loop_data.bin", "w");

if(LOOP_DATA==NULL){
    fprintf(stderr, "cannot_open_file_for_writing\n")
        ;
} else{
    fprintf(stderr, "successfully_opened_file_for_
        writing\n");
    fwrite(&osc_index, sizeof(long int), 1, LOOP_DATA);
    fwrite(&p_accumulator, sizeof(float), 1, LOOP_DATA)
        ;
}
fclose(LUT);

```

```

        fclose (PREV_LOOP_DATA);
        fclose (LOOP_DATA);
        fflush (stderr);
        return 0;
    }

```

5.12. Listing. sim.sh

```

#!/bin/bash

#---PATHS---#
BLD=" ../.. / build "
OUT=" ../.. / output / bin "
PYS=" ../ python "

#---PARAMS---#
n=2
SNR=10

rotation=-45
backrotation=45
phaseerror=20

bit_per_sec=1000
sym_per_sec=bit_per_sec/2

multiplier=1
fs=1000000
fm=100000
fm_b=99000

costas_prev_index=0

fc=10000

#---SIMULATION---#
export i=0
#mkfifo $OUT/symbols_pipe
#mkfifo $OUT/cnco_tx_pipe
#mkfifo $OUT/cnco_rx_pipe

$BLD/generate_cnco_lut.out $fs
python3 $PYS/complex_plot_try.py &
#python3 $PYS/rt_plot_process.py &

rm $OUT/prev_loop_data.bin

start='date +%s%N'

```

```

for i in {0..100}
do
    $BLD/randombytes.out $n | \
    #tee $OUT/bytes.bin | \
    $BLD/byte2symbol.out | \
    tee $OUT/symbols.bin | \
    #$BLD/ftee.out $OUT/symbols_pipe | \
    #$BLD/ftee.out $OUT/cnco_rx_pipe | \
    #$BLD/agwn.out $SNR | \
    #tee /dev/stderr | \
    #./rotate.out $phaseerror | \
    #$BLD/agwn.out $SNR | \
    #$BLD/cf2reim2.out | \
    $BLD/increment.out $multiplier | \
    tee $OUT/incremented.bin | \
    $BLD/agwn.out $SNR | \
    $BLD/cnco.out $fs $fm | \
    tee $OUT/cnco_tx.bin | \
    #$BLD/ftee.out $OUT/cnco_tx_pipe | \
    #./rotate.out $phaseerror | \
    #
    #          CHANNEL
    #
    $BLD/cnco_conj.out $fs $fm_b | \
    $BLD/costas.out $fs | \
    tee $OUT/cnco_rx.bin | \
    #$BLD/agwn.out $SNR | \
    tee > $OUT/noisy.bin
    #./agwn.out $SNR | \
    #./rotate.out $backrotation | \
    #$BLD/decrement_binary.out $multiplier | \
    #$BLD/limiter.out | \
    #tee > $OUT/decrementedlimited.bin
    #$BLD/phase_diff.out | \
    #$BLD/derivator.out | \
    #$BLD/lpf.out $fs $fc
    sleep 0.5
    #echo $i" iter"
    #sleep 1

    #./symbols2bits.out | \
    # tee > decoded.bin
    # ./berr.out $SNR | \
    # tee -a bcurve.txt
done
end='date +%s%N';

#echo 'expr $end - $start '
#——PLOTTING——#

```

```

#python3 $PYS/plot.py --n $n
#python3 $PYS/scatterplot.py
#python3 $PYS/plot_co.py
#python3 $PYS/plot_costas.py

```

5.13. Listing. rtplot.py

```

import numpy as np
import matplotlib.pyplot as plt
import matplotlib.animation as animation
import argparse
import collections
import os
import pdb
import math
from itertools import count

ix=os.environ["i"]

class Signal:
    output_path='../.. / output/bin/'
    t_window_length = 160
    id_count = count(0)
    signal_count = [0]

    def __init__(self, signal_file):
        self.path = self.output_path + signal_file
        self.buffer = collections.deque(maxlen = self.
            t_window_length)
        self.prev_modified_date = os.stat(self.path).st_mtime_ns
        for i in range(self.t_window_length):
            self.buffer.append(np.complex64(0.0 + 0.0j))
        self.id = next(self.id_count)
        self.signal_count[0] = self.id + 1
        self.name = signal_file

    def append(self, value):
        self.buffer.append(value)

    @classmethod
    def set_output_path(cls, path):
        cls.output_path = path

    @classmethod
    def set_t_window_length(cls, window_length):
        cls.t_window_length = window_length

    @classmethod
    def get_signal_count(cls):

```

```

        return cls.signal_count[0]

class Plotter:

    signal_list = []
    signal_plot_types = []
    plot_list = []
    def __init__(self, signal_count):
        self.fig, self.ax = plt.subplots(signal_count)

    def add_signal(self, plot_type, signal, gui):
        self.signal_plot_types.append(plot_type)
        self.gui = gui
        self.signal_list.append(signal)

    def init_plot(self):
        for signal in self.signal_list:
            if self.signal_plot_types[signal.id] == "line":
                #line_plot = self.ax[signal.id].plot(np.real(
                    signal.buffer), '-')
                #self.plot_list.append(line_plot[0])
                self.plot_list.append(self.ax[signal.id].plot(np
                    .real(signal.buffer), '-', label='real'))
                self.ax[signal.id].set_ylim([-1.5, 1.5])
                self.ax[signal.id].set_ylabel("real_values")
                self.ax[signal.id].set_xlabel("samples")
                self.ax[signal.id].set_title(signal.name)
            elif self.signal_plot_types[signal.id] == "scatter":
                #scatter_plot = self.ax[signal.id].plot(np.real(
                    signal.buffer), np.imag(signal.buffer), 'go',
                    markersize=1)
                #self.plot_list.append(scatter_plot[0])
                self.plot_list.append(self.ax[signal.id].plot(np
                    .real(signal.buffer), np.imag(signal.buffer), '
                    go', markersize=1))
                self.ax[signal.id].grid(b=True,)
                self.ax[signal.id].set_xlabel('Re')
                self.ax[signal.id].set_ylabel('Im')
                self.ax[signal.id].set_title(signal.name)
                self.ax[signal.id].axis('square')
                self.ax[signal.id].set_ylim([-2, 2])
                self.ax[signal.id].set_xlim([-2, 2])

    def update_plot(self):
        for signal in self.signal_list:
            stat = os.stat(signal.path) # load metadata

```

```

        modified_date = stat.st_mtime_ns
        graph = None
        if modified_date > signal.prev_modified_date: #if
            the frame data got updated
            graph = np.fromfile(signal.path, dtype=np.
                                complex64) # load the data from the file

            for i in graph:
                signal.append(i) # append new data

            if self.signal_plot_types[signal.id] == "line":
                self.plot_list[signal.id][0].set_ydata(np.
                    real(signal.buffer))
            elif self.signal_plot_types[signal.id] == "
                scatter":
                self.plot_list[signal.id][0].set_data(np.
                    real(signal.buffer), np.imag(signal.buffer
                    ))

        signal.prev_modified_date = modified_date

    return self.plot_list

window_length=320

Signal.set_output_path(' ../.. / output / bin / ')
Signal.set_t_window_length(320)

plotter = Plotter(4)
plotter.add_signal("line", Signal("symbols.bin"), 0)
plotter.add_signal("line", Signal("cnco_tx.bin"), 0)
plotter.add_signal("line", Signal("cnco_rx.bin"), 0)
plotter.add_signal("scatter", Signal("noisy.bin"), 0)
plotter.init_plot()

def animate(i):
    return plotter.update_plot()

ani = animation.FuncAnimation(
    plotter.fig, animate, interval=500, blit=False, save_count=50)
plt.autoscale(False)
plt.tight_layout()
plt.show()

```

5.14. Listing. picmain.c

```

/**
  Generated main.c file from MPLAB Code Configurator

  @Company
    Microchip Technology Inc.

  @File Name
    main.c

  @Summary
    This is the generated main.c using PIC24 / dsPIC33 / PIC32MM
    MCUs.

  @Description
    This source file provides main entry point for system
    initialization and application code development.
    Generation Information :
      Product Revision : PIC24 / dsPIC33 / PIC32MM MCUs –
        1.169.0
      Device : PIC32MM0064GPL036
    The generated drivers are tested against the following:
      Compiler : XC16 v1.50
      MPLAB : MPLAB X v5.40
*/

/*
  (c) 2020 Microchip Technology Inc. and its subsidiaries. You
  may use this
  software and any derivatives exclusively with Microchip
  products.

  THIS SOFTWARE IS SUPPLIED BY MICROCHIP "AS IS". NO
  WARRANTIES, WHETHER
  EXPRESS, IMPLIED OR STATUTORY, APPLY TO THIS SOFTWARE,
  INCLUDING ANY IMPLIED
  WARRANTIES OF NON-INFRINGEMENT, MERCHANTABILITY, AND FITNESS
  FOR A
  PARTICULAR PURPOSE, OR ITS INTERACTION WITH MICROCHIP
  PRODUCTS, COMBINATION
  WITH ANY OTHER PRODUCTS, OR USE IN ANY APPLICATION.

  IN NO EVENT WILL MICROCHIP BE LIABLE FOR ANY INDIRECT,
  SPECIAL, PUNITIVE,
  INCIDENTAL OR CONSEQUENTIAL LOSS, DAMAGE, COST OR EXPENSE OF
  ANY KIND
  WHATSOEVER RELATED TO THE SOFTWARE, HOWEVER CAUSED, EVEN IF
  MICROCHIP HAS
  BEEN ADVISED OF THE POSSIBILITY OR THE DAMAGES ARE
  FORESEEABLE. TO THE

```


*FULLEST EXTENT ALLOWED BY LAW, MICROCHIP'S TOTAL LIABILITY
ON ALL CLAIMS IN
ANY WAY RELATED TO THIS SOFTWARE WILL NOT EXCEED THE AMOUNT
OF FEES, IF ANY,
THAT YOU HAVE PAID DIRECTLY TO MICROCHIP FOR THIS SOFTWARE.*

*MICROCHIP PROVIDES THIS SOFTWARE CONDITIONALLY UPON YOUR
ACCEPTANCE OF THESE
TERMS.*

**/*

*/***

Section: Included Files

**/*

#include "mcc_generated_files/system.h"

#include "mcc_generated_files/mcc.h"

#include <stdio.h>

#include <inttypes.h>

#include <stdbool.h>

#include "random_bytes.h"

*/**

Main application

**/*

#define NUM_CHARS 256

#define QP_0 (1<<12)

#define QP_1 (1<<13)

#define QN_0 (1<<10)

#define QN_1 (1<<11)

#define IP_0 (1<<0)

#define IP_1 (1<<1)

#define IN_0 (1<<2)

#define IN_1 (1<<3)

#define IQ_TX_BUFFER_LENGTH 256

#define I_BITMASK 1

#define Q_BITMASK 0

#define TEST_ARRAY_S 8

#define PFD_FREQ 40000000 //40 MHz

#define STEP_FREQ 100000 // 100 kHz

#define MOD PFD_FREQ/STEP_FREQ

const uint32_t reg0_default = 0x0001C0;

const uint32_t reg1_default = 0x003001;

const uint32_t reg2_default = 0x001802;

```

bool isButtonReady = true;
uint32_t period = 31250*2;
uint16_t tx_buffer[IQ_TX_BUFFER_LENGTH];
uint8_t tx_buffer_index = 0;
uint8_t tx_buffer_send_index = 0;
bool iq_tx_ready = true;

typedef enum {
    LOW = 0,
    HIGH = 1
} out_state_t;

typedef struct{
    out_state_t i_state;
    out_state_t q_state;
}iq_out_t;

iq_out_t iq_current_state = {HIGH,HIGH};

void SetQHigh(void){
    QP_1_SetHigh();
    QP_0_SetHigh();
    QN_0_SetLow();
    QN_1_SetLow();
}

void SetQLow(){
    QN_1_SetHigh();
    QN_0_SetHigh();
    QP_0_SetLow();
    QP_1_SetLow();
}

}

void SetILow(){
    IN_1_SetHigh();
    IN_0_SetHigh();
    IP_0_SetLow();
    IP_1_SetLow();
}

void SetIHigh(void){
    IP_1_SetHigh();
    IP_0_SetHigh();
    IN_0_SetLow();
    IN_1_SetLow();
}

void SetIOff(){
    IP_1_SetLow();
    IP_0_SetLow();
}

```

```

    IN_0_SetLow();
    IN_1_SetLow();
}
void SetQOff(){
    QP_1_SetLow();
    QP_0_SetLow();
    QN_0_SetLow();
    QN_1_SetLow();
}
void Delay_us(int us){ //shitty delay function
    uint32_t start_time = CORETIMER_CountGet();
    while((CORETIMER_CountGet() - start_time) < 10*us){};
}

void UART1_SendString(char * string){

    uint16_t stringIterator = 0;
    uint8_t characterToSend = string[stringIterator];

    LED1_Toggle();
    do{

        if(UART1_IsTxReady()){
            UART1_Write(characterToSend);
            stringIterator++;
            characterToSend = string[stringIterator];
        }

    } while((characterToSend != '\0'));

    UART1_Write(characterToSend);

    LED1_Toggle();

}
void SW1_CallBack(void){
    if(isButtonReady){
        isButtonReady=0;
        //LED1_Toggle();

        if((MCCP1_TMR_Period32BitGet())== period)
        {
            MCCP1_TMR_Start();
        }
    }
}

```

```

}
void Handle_IQ_LATCH(iq_out_t iq_output){
    tx_buffer[tx_buffer_index] = 0;

    if(iq_current_state.q_state != iq_output.q_state){
        tx_buffer[tx_buffer_index] |= (QP_0|QP_1|QN_0|QN_1);
        iq_current_state.q_state = iq_output.q_state;
    }
    if(iq_current_state.i_state != iq_output.i_state){
        tx_buffer[tx_buffer_index] |= (IP_0|IP_1|IN_0|IN_1);
        iq_current_state.i_state = iq_output.i_state;
    }
    tx_buffer_index++;
}
void IQ_TX(uint8_t byte){
    uint8_t i = 0;
    uint8_t sym_buffer = 0;
    iq_out_t iq_output;
    for(i=0;i<4;i++){
        sym_buffer = byte & (0b11000000>>(2*i)); // masking out
            the actual bits

        sym_buffer = sym_buffer << (2*i); // shifting the bits
            to msb
        //sym_buffer = 0;
        switch (sym_buffer){
            case 0b00000000:
                iq_output.i_state = LOW;
                iq_output.q_state = LOW;
                break;
            case 0b01000000:
                iq_output.i_state = LOW;
                iq_output.q_state = HIGH;
                break;
            case 0b10000000:
                iq_output.i_state = HIGH;
                iq_output.q_state = LOW;
                break;
            case 0b11000000:
                iq_output.i_state = HIGH;
                iq_output.q_state = HIGH;
                break;
            default:
                iq_output.i_state = LOW;
                iq_output.q_state = LOW;
        }
        Handle_IQ_LATCH(iq_output);
    }
}

```

```

ADRF6703_SetRegister(uint8_t byte0 , uint8_t byte1 , uint8_t byte2
)
{
    LE_SetLow();
    SPI2_Exchange8bit(byte0);
    SPI2_Exchange8bit(byte1);
    SPI2_Exchange8bit(byte2);
    Nop();
    LE_SetHigh();
    Nop();
    LE_SetLow();
    Nop();
}
void ADRF6703_SetFrequency(uint32_t freq_hz){

    uint8_t int_reg = 0;
    int_reg = freq_hz/PFD_FREQ;

    uint16_t frac_reg = 0;
    frac_reg= (freq_hz %PFD_FREQ)/ STEP_FREQ;
    uint16_t mod_reg = MOD;
    uint8_t reg_to_set[3] = {0,0,0};
    uint32_t reg_value_buffer = 0;

    ENOP_SetLow();

    uint32_t frac_reg_mask = 0x000002;
    reg_value_buffer =frac_reg_mask | (frac_reg<<3);
    reg_to_set[2] =(uint8_t)reg_value_buffer;
    reg_to_set[1] =(uint8_t)(reg_value_buffer>>8);
    reg_to_set[0] =(uint8_t)(reg_value_buffer>>16);

    ADRF6703_SetRegister(reg_to_set[0] , reg_to_set[1] , reg_to_set
        [2]);

    uint32_t mod_reg_mask = 0x000001;
    reg_value_buffer =mod_reg_mask | (mod_reg<<3);
    reg_to_set[2] =(uint8_t)reg_value_buffer;
    reg_to_set[1] =(uint8_t)(reg_value_buffer>>8);
    reg_to_set[0] =(uint8_t)(reg_value_buffer>>16);

    ADRF6703_SetRegister(reg_to_set[0] , reg_to_set[1] , reg_to_set
        [2]);

    uint32_t int_reg_mask = 0x000000;
    reg_value_buffer =int_reg_mask | (int_reg<<3);
    reg_to_set[2] =(uint8_t)reg_value_buffer;
    reg_to_set[1] =(uint8_t)(reg_value_buffer>>8);
    reg_to_set[0] =(uint8_t)(reg_value_buffer>>16);
}

```

```

    ADRF6703_SetRegister(reg_to_set[0], reg_to_set[1], reg_to_set
        [2]);

    ENOP_SetHigh();
}
void ADRF6703_Init(void) {

    uint8_t reg0[3] = {0x00, 0x01, 0xc0};
    uint8_t reg1[3] = {0x00, 0x0c, 0x81};
    uint8_t reg2[3] = {0x00, 0x06, 0x42};
    uint8_t reg3[3] = {0x70, 0x00, 0x0b}; // dither control
        default
    uint8_t reg4[3] = {0x02, 0xa7, 0xa4};
    uint8_t reg5[3] = {0x00, 0x00, 0xe5}; // LO output disabled,
        modulator enabled 0b00000000, 0b00000000, 0
        b11010101
    uint8_t reg6[3] = {0x1e, 0xfd, 0x06};
    uint8_t reg7[3] = {0x00, 0x00, 0x07}; // external VCO
        disabled 0b00000000, 0b00000000,
        0b00000111

    LOSEL_SetLow();
    ENOP_SetLow();
    ADRF6703_SetRegister(reg7[0], reg7[1], reg7[2]);
    ADRF6703_SetRegister(reg6[0], reg6[1], reg6[2]);
    ADRF6703_SetRegister(reg5[0], reg5[1], reg5[2]);
    ADRF6703_SetRegister(reg4[0], reg4[1], reg4[2]);
    ADRF6703_SetRegister(reg3[0], reg3[1], reg3[2]);
    ADRF6703_SetRegister(reg2[0], reg2[1], reg2[2]);
    ADRF6703_SetRegister(reg1[0], reg1[1], reg1[2]);
    ADRF6703_SetRegister(reg0[0], reg0[1], reg0[2]);
    ENOP_SetHigh();
    LED2_SetHigh();
}
void TMR1_Callback(void) {
    LATBINV = tx_buffer[tx_buffer_send_index++];
}
void TMR1_Callback_Empty(void) {

}
int main(void)
{
    bool statusTimer1;
    uint32_t dummyNumber=0xFFFFFFFF;
    uint8_t prev_buff_index = 0;

    SYSTEM_Initialize();

```

```

SetIHigh();
SetQHigh();
iq_current_state.q_state = HIGH;
iq_current_state.i_state = HIGH;
SW1_SetInterruptHandler(&SW1_Callback);

TMR1_SetInterruptHandler(&TMR1_Callback);
IEC0bits.T1IE = false;

MCCP1_TMR_Initialize();
MCCP1_TMR_Period32BitSet(period);

LOSEL_SetLow();
ENOP_SetLow();

ADRF6703_Init();
uint32_t freq = 2600000000UL;
ADRF6703_SetFrequency(freq);

LED1_SetHigh();
LED2_SetHigh();

while (1)
{
    MCCP1_TMR_Timer32Tasks();

    if( ((statusTimer1 = MCCP1_TMR_Timer32ElapsedThenClear())
        ) && !(isButtonReady)) == true)
    {
        MCCP1_TMR_Stop();
        LED2_Toggle();
        int i= 0;
        for(i=0;i<=1000;i++){
            uint16_t message_index = 0;
            uint16_t sent_bytes = 0;

            IQ_TX(message[message_index++]);
            IQ_TX(message[message_index++]);
            IEC0bits.T1IE = true;
            while(sent_bytes <= MESSAGE_S){

                sent_bytes+= tx_buffer_send_index -
                    prev_buff_index;
                prev_buff_index = tx_buffer_send_index;

                if(tx_buffer_index==(tx_buffer_send_index-1)
                    ){
                    Nop();
                }
            }
        }
    }
}

```

```

        }
        else{
            IQ_TX(message[message_index++]);
        }
    }
    IEC0bits.T1IE = false;
    LED1_Toggle();
}
LED2_Toggle();
isButtonReady=1;
} //
    // Add your application code
}

return 1;
}
/**
End of File
*/

```